

# 第一章 绪论

## 1.1 定义

## 1.2 课程内容

## 1.3 教学安排



## 第二章 控制方程

### 2.1 纳维-斯托克斯方程

#### 2.1.1 连续性微分方程

连续性微分方程是质量守恒定律在流场中固定的无穷小微元控制体所导出的，即单位时间内净流入控制体内的质量等于单位时间内控制体内质量的增加量。如图2.1所示，任取一固定在流场中的无穷小正交六面体控制体，各边分别与直角坐标系各轴平行，各边边长分别为  $dx$ 、 $dy$  和  $dz$ 。控制体中心坐标为  $(x, y, z)$ ，密度为  $\rho$ ，速度为  $(u, v, w)$ 。 $\rho$ 、 $u$ 、 $v$  和  $w$  均为  $x, y, z, t$  的函数。

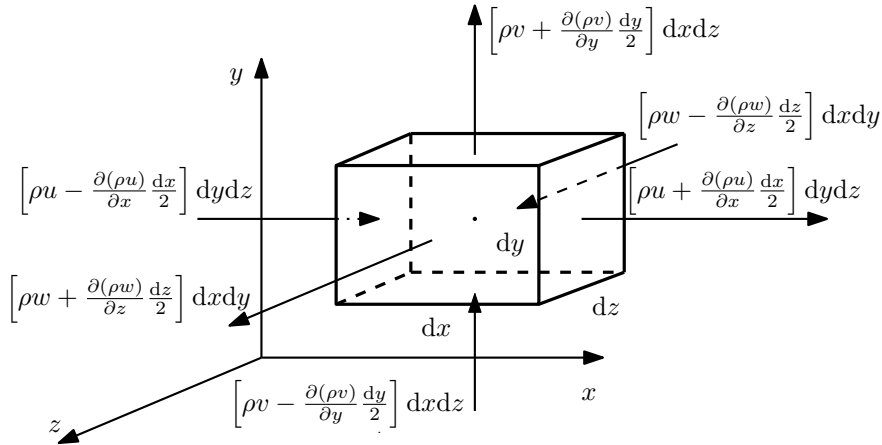


图 2.1: 固定在流场中的无穷小正交六面体控制体和质量流量示意图

流体可以穿过外表面流入或流出控制体。以  $x$  方向为例，流体从控制体的左侧和右侧两个面进出控制体。根据泰勒展开并略去高阶无穷小量，单位时间内从左侧面流入控制体的质量为

$$\left[ \rho u - \frac{\partial(\rho u)}{\partial x} \frac{dx}{2} \right] dy dz$$

单位时间内从右侧面流出控制体的质量为

$$\left[ \rho u + \frac{\partial(\rho u)}{\partial x} \frac{dx}{2} \right] dy dz$$

因此，单位时间沿  $x$  方向净流入控制体的质量为

$$-\frac{\partial(\rho u)}{\partial x} dx dy dz \quad (2.1)$$

同理，单位时间内沿  $y$ 、 $z$  方向净流入控制体的质量分别为

$$-\frac{\partial(\rho v)}{\partial y} dx dy dz \text{ 和 } -\frac{\partial(\rho w)}{\partial z} dx dy dz$$

因此, 单位时间内净流入控制体内的质量为

$$-\left[\frac{\partial(\rho u)}{\partial x} + \frac{\partial(\rho v)}{\partial y} + \frac{\partial(\rho w)}{\partial z}\right] dx dy dz \quad (2.2)$$

控制体的质量为  $\rho dx dy dz$ , 单位时间内控制体内质量的增加量为

$$\frac{\partial}{\partial t}(\rho dx dy dz) = \frac{\partial \rho}{\partial t} dx dy dz \quad (2.3)$$

根据质量守恒定律, 有

$$\frac{\partial \rho}{\partial t} dx dy dz = -\left[\frac{\partial(\rho u)}{\partial x} + \frac{\partial(\rho v)}{\partial y} + \frac{\partial(\rho w)}{\partial z}\right] dx dy dz \quad (2.4)$$

上式两边同除以  $dx dy dz$  后, 将等号右边所有项移到左边, 即得连续性微分方程

$$\frac{\partial \rho}{\partial t} + \frac{\partial(\rho u)}{\partial x} + \frac{\partial(\rho v)}{\partial y} + \frac{\partial(\rho w)}{\partial z} = 0 \quad (2.5)$$

对均质不可压缩流体,  $\rho$  为常数, 连续性方程可写成

$$\frac{\partial u}{\partial x} + \frac{\partial v}{\partial y} + \frac{\partial w}{\partial z} = 0 \quad (2.6)$$

### 2.1.2 动量方程

动量方程是牛顿第二定律或动量守恒定律得数学表达式。如图2.2所示, 考虑一个随流运动的无穷小正交六面体流体微团。微团中心点所在坐标为  $(x, y, z)$ , 中心点密度为  $\rho$ , 速度为  $(u, v, w)$ , 压强为  $p$ 。则该微团的质量为

$$m = \rho dx dy dz \quad (2.7)$$

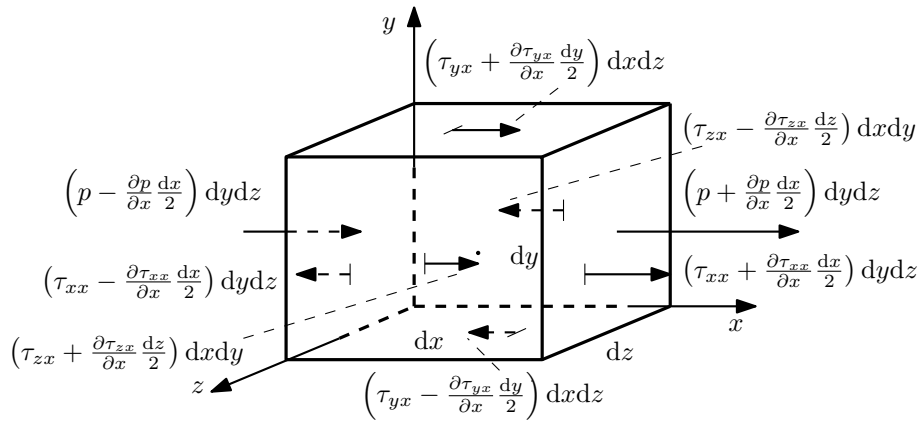


图 2.2: 随流运动的流体微团在  $x$  方向表面力受力分析

$x$  方向的牛顿第二定律为

$$F_x = m a_x \quad (2.8)$$

式中,  $F_x$  和  $a_x$  分别是微团所受外力和加速度在  $x$  方向的分量。

随流运动的流体微团的  $a_x$  等于  $u_x$  随时间的变化率, 即速度的随体导数

$$a_x = \frac{Du}{Dt} \quad (2.9)$$

流体微团在  $x$  方向所受外力有两类：体积力  $F_x$  和表面力  $T_x$ 。假定作用在微团上的单位质量力为  $\mathbf{f} = (f_x, f_y, f_z)$ 。 $x$  方向所受的体积力为：

$$F_x = \rho f_x dx dy dz \quad (2.10)$$

如图2.2所示，表面力  $T_x$  是直接作用在六个外表面上的力，包括：(1) 作用在外表面上的压力；(2) 作用在外表面上正压力和剪切力。在  $x$  方向上，只有左侧面和右侧面的压力，分别为  $(p - \frac{\partial p}{\partial x} \frac{dx}{2}) dy dz$  和  $-(p + \frac{\partial p}{\partial x} \frac{dx}{2}) dy dz$ 。作用在六个外表面上在  $x$  方向上的正应力和切应力共 6 个，即左侧面上的  $-(\tau_{xx} - \frac{\partial \tau_{xx}}{\partial x} \frac{dx}{2}) dy dz$ ，右侧面上的  $(\tau_{xx} + \frac{\partial \tau_{xx}}{\partial x} \frac{dx}{2}) dy dz$ ，前侧面上的  $(\tau_{zx} + \frac{\partial \tau_{zx}}{\partial z} \frac{dz}{2}) dx dy$ ，后侧面上的  $-(\tau_{zx} - \frac{\partial \tau_{zx}}{\partial z} \frac{dz}{2}) dx dy$ ，底侧面上的  $-(\tau_{yx} - \frac{\partial \tau_{yx}}{\partial y} \frac{dy}{2}) dx dz$ ，顶侧面上的  $(\tau_{yx} + \frac{\partial \tau_{yx}}{\partial y} \frac{dy}{2}) dx dz$ ，上述应力表述中，下标第一项表示该作用面的法向方向，第二项表示应力的正向方向，正负号表示力的方向。

$$\begin{aligned} T_x = & \left[ \left( p - \frac{\partial p}{\partial x} \frac{dx}{2} \right) - \left( p + \frac{\partial p}{\partial x} \frac{dx}{2} \right) \right] dy dz + \\ & \left[ \left( \tau_{xx} + \frac{\partial \tau_{xx}}{\partial x} \frac{dx}{2} \right) - \left( \tau_{xx} - \frac{\partial \tau_{xx}}{\partial x} \frac{dx}{2} \right) \right] dy dz + \\ & \left[ \left( \tau_{yx} + \frac{\partial \tau_{yx}}{\partial y} \frac{dy}{2} \right) - \left( \tau_{yx} - \frac{\partial \tau_{yx}}{\partial y} \frac{dy}{2} \right) \right] dx dz + \\ & \left[ \left( \tau_{zx} + \frac{\partial \tau_{zx}}{\partial z} \frac{dz}{2} \right) - \left( \tau_{zx} - \frac{\partial \tau_{zx}}{\partial z} \frac{dz}{2} \right) \right] dx dy \\ = & \left( -\frac{\partial p}{\partial x} + \frac{\partial \tau_{xx}}{\partial x} + \frac{\partial \tau_{yx}}{\partial y} + \frac{\partial \tau_{zx}}{\partial z} \right) dx dy dz \end{aligned} \quad (2.11)$$

将式(2.9)、(2.10)和(2.11)代入式(2.8)，可得到  $x$  方向的动量方程。同理可得， $y$  和  $z$  方向的动量方程。最终得到的动量方程为

$$\begin{aligned} \rho \frac{Du}{Dt} &= \rho f_x - \frac{\partial p}{\partial x} + \frac{\partial \tau_{xx}}{\partial x} + \frac{\partial \tau_{yx}}{\partial y} + \frac{\partial \tau_{zx}}{\partial z} \\ \rho \frac{Dv}{Dt} &= \rho f_y - \frac{\partial p}{\partial y} + \frac{\partial \tau_{xy}}{\partial x} + \frac{\partial \tau_{yy}}{\partial y} + \frac{\partial \tau_{zy}}{\partial z} \\ \rho \frac{Dw}{Dt} &= \rho f_z - \frac{\partial p}{\partial z} + \frac{\partial \tau_{xz}}{\partial x} + \frac{\partial \tau_{yz}}{\partial y} + \frac{\partial \tau_{zz}}{\partial z} \end{aligned} \quad (2.12)$$

根据数学知识，

$$\begin{aligned} \rho \frac{Du}{Dt} &= \frac{\partial(\rho u)}{\partial t} + \nabla \cdot (\rho u \mathbf{u}) = \frac{\partial(\rho u)}{\partial t} + \frac{\partial \rho(uu)}{\partial x} + \frac{\partial \rho(uv)}{\partial y} + \frac{\partial \rho(uw)}{\partial z} \\ \rho \frac{Dv}{Dt} &= \frac{\partial(\rho v)}{\partial t} + \nabla \cdot (\rho v \mathbf{u}) = \frac{\partial(\rho v)}{\partial t} + \frac{\partial \rho(vu)}{\partial x} + \frac{\partial \rho(vv)}{\partial y} + \frac{\partial \rho(vw)}{\partial z} \\ \rho \frac{Dw}{Dt} &= \frac{\partial(\rho w)}{\partial t} + \nabla \cdot (\rho w \mathbf{u}) = \frac{\partial(\rho w)}{\partial t} + \frac{\partial \rho(wu)}{\partial x} + \frac{\partial \rho(wv)}{\partial y} + \frac{\partial \rho(ww)}{\partial z} \end{aligned} \quad (2.13)$$

将式(2.13)代入式(2.12)中，

$$\begin{aligned} \frac{\partial(\rho u)}{\partial t} + \frac{\partial \rho(uu)}{\partial x} + \frac{\partial \rho(uv)}{\partial y} + \frac{\partial \rho(uw)}{\partial z} &= \rho f_x - \frac{\partial p}{\partial x} + \frac{\partial \tau_{xx}}{\partial x} + \frac{\partial \tau_{yx}}{\partial y} + \frac{\partial \tau_{zx}}{\partial z} \\ \frac{\partial(\rho v)}{\partial t} + \frac{\partial \rho(vu)}{\partial x} + \frac{\partial \rho(vv)}{\partial y} + \frac{\partial \rho(vw)}{\partial z} &= \rho f_y - \frac{\partial p}{\partial y} + \frac{\partial \tau_{xy}}{\partial x} + \frac{\partial \tau_{yy}}{\partial y} + \frac{\partial \tau_{zy}}{\partial z} \\ \frac{\partial(\rho w)}{\partial t} + \frac{\partial \rho(wu)}{\partial x} + \frac{\partial \rho(wv)}{\partial y} + \frac{\partial \rho(ww)}{\partial z} &= \rho f_z - \frac{\partial p}{\partial z} + \frac{\partial \tau_{xz}}{\partial x} + \frac{\partial \tau_{yz}}{\partial y} + \frac{\partial \tau_{zz}}{\partial z} \end{aligned} \quad (2.14)$$

在 17 世纪晚期，牛顿给出了牛顿内摩擦定律，即流体内部切应力正比于剪切变形速率。1845

年, 斯托克斯给出如下关系式

$$\begin{aligned}
 \tau_{xx} &= \lambda(\nabla \cdot \mathbf{u}) + 2\mu \frac{\partial u}{\partial x} \\
 \tau_{yy} &= \lambda(\nabla \cdot \mathbf{u}) + 2\mu \frac{\partial v}{\partial y} \\
 \tau_{zz} &= \lambda(\nabla \cdot \mathbf{u}) + 2\mu \frac{\partial w}{\partial z} \\
 \tau_{xy} &= \tau_{yx} = \mu \left( \frac{\partial v}{\partial x} + \frac{\partial u}{\partial y} \right) \\
 \tau_{xz} &= \tau_{zx} = \mu \left( \frac{\partial w}{\partial x} + \frac{\partial u}{\partial z} \right) \\
 \tau_{yz} &= \tau_{zy} = \mu \left( \frac{\partial w}{\partial y} + \frac{\partial v}{\partial z} \right)
 \end{aligned} \tag{2.15}$$

式中,  $\mu$  为流体动力粘滞系数,  $\lambda$  是第二粘滞系数。斯托克斯假定

$$\lambda = -\frac{2}{3}\mu \tag{2.16}$$

将式(2.15)和(2.16)代入式 (2.14), 得

$$\begin{aligned}
 \frac{\partial(\rho u)}{\partial t} + \frac{\partial \rho(uu)}{\partial x} + \frac{\partial \rho(uv)}{\partial y} + \frac{\partial \rho(uw)}{\partial z} &= \rho f_x - \frac{\partial p}{\partial x} \\
 &+ \frac{\partial}{\partial x} \left[ \lambda(\nabla \cdot \mathbf{u}) + 2\mu \frac{\partial u}{\partial x} \right] + \frac{\partial}{\partial y} \left[ \mu \left( \frac{\partial v}{\partial x} + \frac{\partial u}{\partial y} \right) \right] + \frac{\partial}{\partial z} \left[ \mu \left( \frac{\partial u}{\partial z} + \frac{\partial w}{\partial x} \right) \right]
 \end{aligned} \tag{2.17a}$$

$$\begin{aligned}
 \frac{\partial(\rho v)}{\partial t} + \frac{\partial \rho(vu)}{\partial x} + \frac{\partial \rho(vv)}{\partial y} + \frac{\partial \rho(vw)}{\partial z} &= \rho f_y - \frac{\partial p}{\partial y} \\
 &+ \frac{\partial}{\partial x} \left[ \mu \left( \frac{\partial v}{\partial x} + \frac{\partial u}{\partial y} \right) \right] + \frac{\partial}{\partial y} \left[ \lambda(\nabla \cdot \mathbf{u}) + 2\mu \frac{\partial v}{\partial y} \right] + \frac{\partial}{\partial z} \left[ \mu \left( \frac{\partial w}{\partial y} + \frac{\partial v}{\partial z} \right) \right]
 \end{aligned} \tag{2.17b}$$

$$\begin{aligned}
 \frac{\partial(\rho w)}{\partial t} + \frac{\partial \rho(wu)}{\partial x} + \frac{\partial \rho(wv)}{\partial y} + \frac{\partial \rho(ww)}{\partial z} &= \rho f_z - \frac{\partial p}{\partial z} \\
 &+ \frac{\partial}{\partial x} \left[ \mu \left( \frac{\partial u}{\partial z} + \frac{\partial w}{\partial x} \right) \right] + \frac{\partial}{\partial y} \left[ \mu \left( \frac{\partial w}{\partial y} + \frac{\partial v}{\partial z} \right) \right] + \frac{\partial}{\partial z} \left[ \lambda(\nabla \cdot \mathbf{u}) + 2\mu \frac{\partial w}{\partial z} \right]
 \end{aligned} \tag{2.17c}$$

式(2.17a)中第二行的各项可以进一步展开为

$$\begin{aligned}
 &\frac{\partial}{\partial x} \left[ \lambda(\nabla \cdot \mathbf{u}) + 2\mu \frac{\partial u}{\partial x} \right] + \frac{\partial}{\partial y} \left[ \mu \left( \frac{\partial v}{\partial x} + \frac{\partial u}{\partial y} \right) \right] + \frac{\partial}{\partial z} \left[ \mu \left( \frac{\partial u}{\partial z} + \frac{\partial w}{\partial x} \right) \right] \\
 &= \mu \left( \frac{\partial^2 u}{\partial x^2} + \frac{\partial^2 u}{\partial y^2} + \frac{\partial^2 u}{\partial z^2} \right) + \frac{\partial}{\partial x} \left( \frac{\partial u}{\partial x} + \frac{\partial v}{\partial y} + \frac{\partial w}{\partial z} \right) + \frac{\partial}{\partial x} [\lambda(\nabla \cdot \mathbf{u})] \\
 &= \mu \left( \frac{\partial^2 u}{\partial x^2} + \frac{\partial^2 u}{\partial y^2} + \frac{\partial^2 u}{\partial z^2} \right) + \frac{\partial}{\partial x} (\nabla \cdot \mathbf{u}) + \frac{\partial}{\partial x} [\lambda(\nabla \cdot \mathbf{u})]
 \end{aligned} \tag{2.18}$$

对均质不可压缩流体, 其连续性方程为  $\nabla \cdot \mathbf{u} = 0$ , 上式最后得到

$$\mu \left( \frac{\partial^2 u}{\partial x^2} + \frac{\partial^2 u}{\partial y^2} + \frac{\partial^2 u}{\partial z^2} \right) \tag{2.19}$$

对(2.17)的后两个公式采用同样的处理方式, 并代入均质不可压缩条件, 式(2.17)可以写成

$$\frac{\partial u}{\partial t} + \frac{\partial(uu)}{\partial x} + \frac{\partial(uv)}{\partial y} + \frac{\partial(uw)}{\partial z} = f_x - \frac{1}{\rho} \frac{\partial p}{\partial x} + \nu \left( \frac{\partial^2 u}{\partial x^2} + \frac{\partial^2 u}{\partial y^2} + \frac{\partial^2 u}{\partial z^2} \right) \tag{2.20a}$$

$$\frac{\partial v}{\partial t} + \frac{\partial(vu)}{\partial x} + \frac{\partial(vv)}{\partial y} + \frac{\partial(vw)}{\partial z} = f_y - \frac{1}{\rho} \frac{\partial p}{\partial y} + \nu \left( \frac{\partial^2 v}{\partial x^2} + \frac{\partial^2 v}{\partial y^2} + \frac{\partial^2 v}{\partial z^2} \right) \tag{2.20b}$$

$$\frac{\partial w}{\partial t} + \frac{\partial(wu)}{\partial x} + \frac{\partial(wv)}{\partial y} + \frac{\partial(ww)}{\partial z} = f_z - \frac{1}{\rho} \frac{\partial p}{\partial z} + \nu \left( \frac{\partial^2 w}{\partial x^2} + \frac{\partial^2 w}{\partial y^2} + \frac{\partial^2 w}{\partial z^2} \right) \tag{2.20c}$$

或写成矢量形式为

$$\frac{\partial \mathbf{u}}{\partial x} + \nabla \cdot (\mathbf{u}\mathbf{u}) = \mathbf{f} - \frac{1}{\rho} \nabla p + \nu \nabla^2 \mathbf{u} \quad (2.21)$$

## 2.2 雷诺时均方程

### 2.2.1 紊流物理量时均值定义及性质

根据大量相关实验观测，紊流具有有涡性、不规则性、耗能性、连续性、三维性以及非定常性等特征。因此，紊流运动要素都具有随机性。为了分析方便，紊流运动要素的瞬时值常被分解成时均值和脉动值。任一运动要素  $\phi$  的时均值定义为：

$$\bar{\phi} = \frac{1}{\Delta t} \int_t^{t+\Delta t} \phi(t) dt \quad (2.22)$$

其中，时间间隔  $\Delta t$  相对于紊流的随机脉动周期而言足够大，但相对于流场的各种时均量的缓慢变化周期来说，应足够小。如果时均值随时间变化，成为非稳态的时均紊流；如果时均值不随时间变化，成为准稳态紊流，简称稳态紊流。

运动要素的瞬时值  $\phi$ ，时均值  $\bar{\phi}$  及脉动值  $\phi'$  之间有如下关系：

$$\phi = \bar{\phi} + \phi' \quad (2.23)$$

设  $\phi$  和  $f$  是两个瞬时值， $\bar{\phi}$  和  $\bar{f}$  为相应的时均值， $\phi'$  和  $f'$  为相应的脉动值。按照式(2.22)和(2.23)，下列基本关系成立：

$$\begin{aligned} \overline{\phi'} &= 0 & \bar{\bar{\phi}} &= \bar{\phi} & \overline{\bar{\phi} + \phi'} &= \bar{\phi} \\ \overline{\bar{\phi} f} &= \bar{\phi} \bar{f} & \overline{\bar{\phi} f'} &= \bar{\phi} \bar{f}' = 0 & \overline{\phi f} &= \bar{\phi} \bar{f} + \overline{\phi' f'} \\ \frac{\partial \bar{\phi}}{\partial x_i} &= \frac{\partial \bar{\phi}}{\partial x_i} & \frac{\partial^2 \bar{\phi}}{\partial x_i^2} &= \frac{\partial^2 \bar{\phi}}{\partial x_i^2} & \frac{\partial \bar{\phi}'}{\partial x_i} &= 0 & \frac{\partial^2 \bar{\phi}'}{\partial x_i^2} &= 0 \end{aligned} \quad (2.24)$$

### 2.2.2 雷诺时均连续性方程

将  $u$ 、 $v$  和  $w$  表示成时均值和脉动值之和，并带入连续性方程(2.6)，并做时均运算，

$$\frac{\partial(\bar{u} + \bar{u}')}{\partial x} + \frac{\partial(\bar{v} + \bar{v}')}{\partial y} + \frac{\partial(\bar{w} + \bar{w}')}{\partial z} = \frac{\partial \bar{u}}{\partial x} + \frac{\partial \bar{v}}{\partial y} + \frac{\partial \bar{w}}{\partial z} + \frac{\partial \bar{u}'}{\partial x} + \frac{\partial \bar{v}'}{\partial y} + \frac{\partial \bar{w}'}{\partial z} = 0$$

运用式(2.24)，可得

$$\frac{\partial \bar{u}}{\partial x} + \frac{\partial \bar{v}}{\partial y} + \frac{\partial \bar{w}}{\partial z} = 0 \quad (2.25)$$

上式表明，紊流速度的时均值仍满足连续性方程。

### 2.2.3 雷诺时均运动方程

以式(2.20a)给出的  $x$  方向的运动方程为例，采取类似于连续性方程的处理，有

$$\begin{aligned} & \frac{\partial(\bar{u} + \bar{u}')}{\partial t} + \frac{\partial(\bar{u} + \bar{u}')^2}{\partial x} + \frac{\partial(\bar{u} + \bar{u}')(\bar{v} + \bar{v}')}{\partial y} + \frac{\partial(\bar{u} + \bar{u}')(\bar{w} + \bar{w}')}{\partial z} \\ &= \bar{f}_x - \frac{1}{\rho} \frac{\partial(\bar{p} + \bar{p}')}{\partial x} + \nu \left[ \frac{\partial^2(\bar{u} + \bar{u}')}{\partial x^2} + \frac{\partial^2(\bar{u} + \bar{u}')}{\partial y^2} + \frac{\partial^2(\bar{u} + \bar{u}')}{\partial z^2} \right] \end{aligned}$$

运用式(2.24), 可得

$$\frac{\partial \bar{u}}{\partial t} + \frac{\partial \bar{u}\bar{u}}{\partial x} + \frac{\partial \bar{u}\bar{v}}{\partial y} + \frac{\partial \bar{u}\bar{w}}{\partial z} + \frac{\partial \bar{u}'u'}{\partial x} + \frac{\partial \bar{u}'v'}{\partial y} + \frac{\partial \bar{u}'w'}{\partial z} = \bar{f}_x - \frac{1}{\rho} \frac{\partial \bar{p}}{\partial x} + \nu \left( \frac{\partial^2 \bar{u}}{\partial x^2} + \frac{\partial^2 \bar{u}}{\partial y^2} + \frac{\partial^2 \bar{u}}{\partial z^2} \right)$$

将上式左侧脉动值乘积的时均值移到等号右侧, 得:

$$\frac{\partial \bar{u}}{\partial t} + \frac{\partial \bar{u}\bar{u}}{\partial x} + \frac{\partial \bar{u}\bar{v}}{\partial y} + \frac{\partial \bar{u}\bar{w}}{\partial z} = \bar{f}_x - \frac{1}{\rho} \frac{\partial \bar{p}}{\partial x} - \left( \frac{\partial \bar{u}'u'}{\partial x} + \frac{\partial \bar{u}'v'}{\partial y} + \frac{\partial \bar{u}'w'}{\partial z} \right) + \nu \left( \frac{\partial^2 \bar{u}}{\partial x^2} + \frac{\partial^2 \bar{u}}{\partial y^2} + \frac{\partial^2 \bar{u}}{\partial z^2} \right) \quad (2.26)$$

同理可得,  $y$  和  $z$  方向的雷诺平均方程为:

$$\frac{\partial \bar{v}}{\partial t} + \frac{\partial \bar{v}\bar{u}}{\partial x} + \frac{\partial \bar{v}\bar{v}}{\partial y} + \frac{\partial \bar{v}\bar{w}}{\partial z} = \bar{f}_y - \frac{1}{\rho} \frac{\partial \bar{p}}{\partial y} - \left( \frac{\partial \bar{v}'u'}{\partial x} + \frac{\partial \bar{v}'v'}{\partial y} + \frac{\partial \bar{v}'w'}{\partial z} \right) + \nu \left( \frac{\partial^2 \bar{v}}{\partial x^2} + \frac{\partial^2 \bar{v}}{\partial y^2} + \frac{\partial^2 \bar{v}}{\partial z^2} \right) \quad (2.27)$$

$$\frac{\partial \bar{w}}{\partial t} + \frac{\partial \bar{w}\bar{u}}{\partial x} + \frac{\partial \bar{w}\bar{v}}{\partial y} + \frac{\partial \bar{w}\bar{w}}{\partial z} = \bar{f}_z - \frac{1}{\rho} \frac{\partial \bar{p}}{\partial z} - \left( \frac{\partial \bar{w}'u'}{\partial x} + \frac{\partial \bar{w}'v'}{\partial y} + \frac{\partial \bar{w}'w'}{\partial z} \right) + \nu \left( \frac{\partial^2 \bar{w}}{\partial x^2} + \frac{\partial^2 \bar{w}}{\partial y^2} + \frac{\partial^2 \bar{w}}{\partial z^2} \right) \quad (2.28)$$

对式(2.26)至(2.28)分别乘上密度  $\rho$ , 可得

$$\begin{aligned} \frac{\partial \rho \bar{u}}{\partial t} + \frac{\partial \rho \bar{u}\bar{u}}{\partial x} + \frac{\partial \rho \bar{u}\bar{v}}{\partial y} + \frac{\partial \rho \bar{u}\bar{w}}{\partial z} = \\ \rho \bar{f}_x - \frac{\partial \bar{p}}{\partial x} + \left[ \frac{\partial (-\rho \bar{u}'u')}{\partial x} + \frac{\partial (-\rho \bar{u}'v')}{\partial y} + \frac{\partial (-\rho \bar{u}'w')}{\partial z} \right] + \mu \left( \frac{\partial^2 \bar{u}}{\partial x^2} + \frac{\partial^2 \bar{u}}{\partial y^2} + \frac{\partial^2 \bar{u}}{\partial z^2} \right) \end{aligned} \quad (2.29)$$

$$\begin{aligned} \frac{\partial \rho \bar{v}}{\partial t} + \frac{\partial \rho \bar{v}\bar{u}}{\partial x} + \frac{\partial \rho \bar{v}\bar{v}}{\partial y} + \frac{\partial \rho \bar{v}\bar{w}}{\partial z} = \\ \rho \bar{f}_y - \frac{\partial \bar{p}}{\partial y} + \left[ \frac{\partial (-\rho \bar{v}'u')}{\partial x} + \frac{\partial (-\rho \bar{v}'v')}{\partial y} + \frac{\partial (-\rho \bar{v}'w')}{\partial z} \right] + \nu \left( \frac{\partial^2 \bar{v}}{\partial x^2} + \frac{\partial^2 \bar{v}}{\partial y^2} + \frac{\partial^2 \bar{v}}{\partial z^2} \right) \end{aligned} \quad (2.30)$$

$$\begin{aligned} \frac{\partial \rho \bar{w}}{\partial t} + \frac{\partial \rho \bar{w}\bar{u}}{\partial x} + \frac{\partial \rho \bar{w}\bar{v}}{\partial y} + \frac{\partial \rho \bar{w}\bar{w}}{\partial z} = \\ \rho \bar{f}_z - \frac{\partial \bar{p}}{\partial z} + \left[ \frac{\partial (-\rho \bar{w}'u')}{\partial x} + \frac{\partial (-\rho \bar{w}'v')}{\partial y} + \frac{\partial (-\rho \bar{w}'w')}{\partial z} \right] + \mu \left( \frac{\partial^2 \bar{w}}{\partial x^2} + \frac{\partial^2 \bar{w}}{\partial y^2} + \frac{\partial^2 \bar{w}}{\partial z^2} \right) \end{aligned} \quad (2.31)$$

式(2.29)至(2.31)即紊流时均流动的运动微分方程, 由雷诺导出, 通常称为雷诺时均方程。与纳维-斯托克斯方程相比, 雷诺时均方程多出了紊动附加应力(也称雷诺应力)项  $-\rho \bar{u}'_i u'_j$ ,  $i, j = 1, 2, 3$  分别对应  $x, y$  和  $z$  方向。当  $i = j$  时, 为紊动产生的时均附加正应力, 当  $i \neq j$  时, 为紊动产生的时均附加切应力。

在雷诺时均方程组中, 紊动附加应力共有 9 项, 其中只有 6 个独立变量, 另外还有 4 个变量 ( $\bar{u}$ ,  $\bar{v}$ ,  $\bar{w}$  和  $\bar{p}$ ), 而雷诺时均方程组只有 4 个方程。因此, 雷诺时均方程不封闭, 必须附加方程或条件才能求解出上述 10 个变量。根据附加方程或条件数目不同, 用来封闭的紊流模型可分为零方程模型、一方程模型、二方程模型和代数应力模型等。在水动力学数值模拟中, 应用较多的是零方程模型。下面主要介绍零方程模型。其他紊流模型可参考其他教材。

## 2.2.4 零方程紊流模型

布辛涅斯克类比层流粘性力等于动力粘滞系数  $\mu$  乘以旋转角速度的二倍, 提出雷诺应力等于紊动动力粘滞系数(或称涡粘性系数)  $\eta$  乘以时均角速度的二倍, 即

$$-\rho \bar{u}'_i u'_j = \eta \left( \frac{\partial \bar{u}_i}{\partial x_j} + \frac{\partial \bar{u}_j}{\partial x_i} \right) \quad (2.32)$$



类似层流运动粘滞系数  $\nu$ ，定义  $\nu_t = \eta/\rho$  为紊动运动粘滞系数。布辛涅斯克将紊动附加应力与时均流速联系起来，使雷诺时均方程组封闭，为解决紊流问题开辟了一条很好的途径。但是，布辛涅斯克假定  $\eta$  为常量，与实际有一定出入。普朗特于 1952 年提出动量传递理论和掺长假设，给出了计算二维恒定均匀紊流附加应力的半经验公式

$$\tau_{xy} = -\overline{\rho u'v'} = \rho l^2 \left| \frac{\partial \bar{u}}{\partial y} \right| \frac{\partial \bar{u}}{\partial y} \quad (2.33)$$

式中， $l$  为掺长。普朗特认为，在近壁区，可以假定讨论点的掺长与该点至壁面的距离成正比，即

$$l = \kappa y \quad (2.34)$$

式中， $\kappa$  为卡门常数，由实验资料确定。普朗特掺长理论在近壁区给出的结果同实际资料吻合较好，因而得到广泛应用。

根据布辛涅斯克假定，雷诺时均方程可以变为：

$$\begin{aligned} \frac{\partial \bar{u}}{\partial x} + \frac{\partial \bar{v}}{\partial y} + \frac{\partial \bar{w}}{\partial z} &= 0 \\ \frac{\partial \bar{u}}{\partial t} + \frac{\partial(\bar{u}\bar{u})}{\partial x} + \frac{\partial(\bar{u}\bar{v})}{\partial y} + \frac{\partial(\bar{u}\bar{w})}{\partial z} &= \\ \bar{f}_x - \frac{1}{\rho} \frac{\partial \bar{p}}{\partial x} + \nu_t \left( \frac{\partial^2 \bar{u}}{\partial x^2} + \frac{\partial^2 \bar{u}}{\partial y^2} + \frac{\partial^2 \bar{u}}{\partial z^2} \right) + \nu \left( \frac{\partial^2 \bar{u}}{\partial x^2} + \frac{\partial^2 \bar{u}}{\partial y^2} + \frac{\partial^2 \bar{u}}{\partial z^2} \right) \\ \frac{\partial \bar{v}}{\partial t} + \frac{\partial(\bar{v}\bar{u})}{\partial x} + \frac{\partial(\bar{v}\bar{v})}{\partial y} + \frac{\partial(\bar{v}\bar{w})}{\partial z} &= \\ \bar{f}_y - \frac{1}{\rho} \frac{\partial \bar{p}}{\partial y} + \nu_t \left( \frac{\partial^2 \bar{v}}{\partial x^2} + \frac{\partial^2 \bar{v}}{\partial y^2} + \frac{\partial^2 \bar{v}}{\partial z^2} \right) + \nu \left( \frac{\partial^2 \bar{v}}{\partial x^2} + \frac{\partial^2 \bar{v}}{\partial y^2} + \frac{\partial^2 \bar{v}}{\partial z^2} \right) \\ \frac{\partial \bar{w}}{\partial t} + \frac{\partial(\bar{w}\bar{u})}{\partial x} + \frac{\partial(\bar{w}\bar{v})}{\partial y} + \frac{\partial(\bar{w}\bar{w})}{\partial z} &= \\ \bar{f}_z - \frac{1}{\rho} \frac{\partial \bar{p}}{\partial z} + \nu_t \left( \frac{\partial^2 \bar{w}}{\partial x^2} + \frac{\partial^2 \bar{w}}{\partial y^2} + \frac{\partial^2 \bar{w}}{\partial z^2} \right) + \nu \left( \frac{\partial^2 \bar{w}}{\partial x^2} + \frac{\partial^2 \bar{w}}{\partial y^2} + \frac{\partial^2 \bar{w}}{\partial z^2} \right) \end{aligned} \quad (2.35)$$

层流的动力粘滞系数  $\mu$  一般远小于紊动动力粘滞系数  $\eta$ ，因此上式中层流阻力项可以忽略，雷诺时均方程为

$$\frac{\partial \bar{u}}{\partial x} + \frac{\partial \bar{v}}{\partial y} + \frac{\partial \bar{w}}{\partial z} = 0 \quad (2.36a)$$

$$\frac{\partial \bar{u}}{\partial t} + \frac{\partial(\bar{u}\bar{u})}{\partial x} + \frac{\partial(\bar{u}\bar{v})}{\partial y} + \frac{\partial(\bar{u}\bar{w})}{\partial z} = \bar{f}_x - \frac{1}{\rho} \frac{\partial \bar{p}}{\partial x} + \nu_t \left( \frac{\partial^2 \bar{u}}{\partial x^2} + \frac{\partial^2 \bar{u}}{\partial y^2} + \frac{\partial^2 \bar{u}}{\partial z^2} \right) \quad (2.36b)$$

$$\frac{\partial \bar{v}}{\partial t} + \frac{\partial(\bar{v}\bar{u})}{\partial x} + \frac{\partial(\bar{v}\bar{v})}{\partial y} + \frac{\partial(\bar{v}\bar{w})}{\partial z} = \bar{f}_y - \frac{1}{\rho} \frac{\partial \bar{p}}{\partial y} + \nu_t \left( \frac{\partial^2 \bar{v}}{\partial x^2} + \frac{\partial^2 \bar{v}}{\partial y^2} + \frac{\partial^2 \bar{v}}{\partial z^2} \right) \quad (2.36c)$$

$$\frac{\partial \bar{w}}{\partial t} + \frac{\partial(\bar{w}\bar{u})}{\partial x} + \frac{\partial(\bar{w}\bar{v})}{\partial y} + \frac{\partial(\bar{w}\bar{w})}{\partial z} = \bar{f}_z - \frac{1}{\rho} \frac{\partial \bar{p}}{\partial z} + \nu_t \left( \frac{\partial^2 \bar{w}}{\partial x^2} + \frac{\partial^2 \bar{w}}{\partial y^2} + \frac{\partial^2 \bar{w}}{\partial z^2} \right) \quad (2.36d)$$

## 2.3 平面二维浅水方程

天然河道水流运动一般都属于三维流动，运动要素即沿程变化，又沿水深和河宽方向变化。由于三维水流运动比较复杂，河流数值模拟常用的一种简化方法是将运动要素沿水深方向平均，把三维问题转化为平面二维问题。本节基于一定条件将三维流动的雷诺时均运动微分方程简化为平面二维浅水方程。

### 2.3.1 浅水假设和水深平均积分法则

#### 浅水假设

在河道、湖泊或水库水流中，水平尺度一般远大于垂向尺度。如果垂向加速度与重力加速度相比很小，则可以忽略垂向加速度，流速等水力参数沿垂向的变化常采用其垂向平均值，并假定沿水深方向的动水压强分布符合静水压强分布。三维流动的雷诺时均微分方程式 (2.36a)-(2.36d) 可简化为：

$$\frac{\partial \bar{u}}{\partial x} + \frac{\partial \bar{v}}{\partial y} + \frac{\partial \bar{w}}{\partial z} = 0 \quad (2.37a)$$

$$\frac{\partial \bar{u}}{\partial t} + \frac{\partial (\bar{u}\bar{u})}{\partial x} + \frac{\partial (\bar{u}\bar{v})}{\partial y} + \frac{\partial (\bar{u}\bar{w})}{\partial z} = -\frac{1}{\rho} \frac{\partial \bar{p}}{\partial x} + \nu_t \left( \frac{\partial^2 \bar{u}}{\partial x^2} + \frac{\partial^2 \bar{u}}{\partial y^2} + \frac{\partial^2 \bar{u}}{\partial z^2} \right) \quad (2.37b)$$

$$\frac{\partial \bar{v}}{\partial t} + \frac{\partial (\bar{v}\bar{u})}{\partial x} + \frac{\partial (\bar{v}\bar{v})}{\partial y} + \frac{\partial (\bar{v}\bar{w})}{\partial z} = -\frac{1}{\rho} \frac{\partial \bar{p}}{\partial y} + \nu_t \left( \frac{\partial^2 \bar{v}}{\partial x^2} + \frac{\partial^2 \bar{v}}{\partial y^2} + \frac{\partial^2 \bar{v}}{\partial z^2} \right) \quad (2.37c)$$

$$\frac{\partial \bar{p}}{\partial z} = -\rho g \quad (2.37d)$$

#### 水深积分平均法则

将式(2.37)沿水深积分平均，即可得到沿水深平均的平面二维流动的基本方程。在沿水深积分平均过程中，采用以下定义和公式：

(1) 定义水深为

$$H = z_s - z_b \quad (2.38)$$

式中， $H = H(x, y, t)$  为水深， $z_s = z_s(x, y, t)$ 、 $z_b = z_b(x, y, t)$  分别为某一基准面下的水面高程和河床高程（见图2.3）

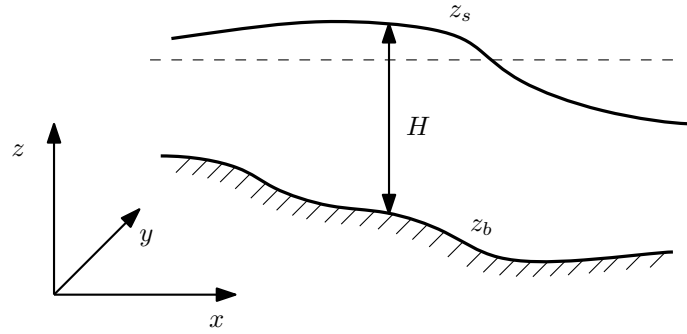


图 2.3: 水位基准示意图

(2) 定义沿水深平均流速  $U$  和  $V$

$$U = \frac{1}{H} \int_{z_b}^{z_s} \bar{u} dz \quad V = \frac{1}{H} \int_{z_b}^{z_s} \bar{v} dz \quad (2.39)$$

式中，下标  $i$  取 1, 2 和 3 分别对应  $x$ ,  $y$  和  $z$  方向的速度分量。

(3) 莱布尼兹公式

$$\frac{\partial}{\partial x_i} \int_a^b f dz = \int_a^b \frac{\partial f}{\partial x_i} dz + f|_b \frac{\partial b}{\partial x_i} - f|_a \frac{\partial a}{\partial x_i} \quad (2.40)$$

式中,  $x_i = x, y, t$ 。  $a$ 、 $b$  和  $f$  都是  $x_i$  的函数。

(4) 自由表面及河床底部运动学条件为:

$$\bar{w}|_{z_s} = \frac{Dz_s}{Dt} = \frac{\partial z_s}{\partial t} + \bar{u}|_{z_s} \frac{\partial z_s}{\partial x} + \bar{v}|_{z_s} \frac{\partial z_s}{\partial y} \quad (2.41)$$

$$\bar{w}|_{z_b} = \frac{Dz_b}{Dt} = \frac{\partial z_b}{\partial t} + \bar{u}|_{z_b} \frac{\partial z_b}{\partial x} + \bar{v}|_{z_b} \frac{\partial z_b}{\partial y} \quad (2.42)$$

### 2.3.2 沿水深平均的连续性方程

采用上述定义和公式对连续性方程(2.37a)沿水深积分平均得:

$$\int_{z_b}^{z_s} \left( \frac{\partial \bar{u}}{\partial x} + \frac{\partial \bar{v}}{\partial y} + \frac{\partial \bar{w}}{\partial z} \right) dz = 0 \quad (2.43)$$

根据式(2.40), 式(2.43)中前两项分别可写成

$$\int_{z_b}^{z_s} \frac{\partial \bar{u}}{\partial x} dz = \frac{\partial}{\partial x} \int_{z_b}^{z_s} \bar{u} dz - \bar{u}|_{z_s} \frac{\partial z_s}{\partial x} + \bar{u}|_{z_b} \frac{\partial z_b}{\partial x} \quad (2.44)$$

$$\int_{z_b}^{z_s} \frac{\partial \bar{v}}{\partial y} dz = \frac{\partial}{\partial y} \int_{z_b}^{z_s} \bar{v} dz - \bar{v}|_{z_s} \frac{\partial z_s}{\partial y} + \bar{v}|_{z_b} \frac{\partial z_b}{\partial y} \quad (2.45)$$

式(2.43)中最后一项

$$\int_{z_b}^{z_s} \frac{\partial \bar{w}}{\partial z} dz = \bar{w}|_{z_s} - \bar{w}|_{z_b} \quad (2.46)$$

将式(2.44), (2.45)和(2.46) 代入(2.43), 并利用自由表面及河床底部运动学条件式(2.41) 和(2.42), 可得

$$\begin{aligned} & \int_{z_b}^{z_s} \left( \frac{\partial \bar{u}}{\partial x} + \frac{\partial \bar{v}}{\partial y} + \frac{\partial \bar{w}}{\partial z} \right) dz \\ &= \frac{\partial}{\partial x} \int_{z_b}^{z_s} \bar{u} dz - \bar{u}|_{z_s} \frac{\partial z_s}{\partial x} + \bar{u}|_{z_b} \frac{\partial z_b}{\partial x} + \\ & \quad \frac{\partial}{\partial y} \int_{z_b}^{z_s} \bar{v} dz - \bar{v}|_{z_s} \frac{\partial z_s}{\partial y} + \bar{v}|_{z_b} \frac{\partial z_b}{\partial y} + \\ & \quad \bar{w}|_{z_s} - \bar{w}|_{z_b} \\ &= \frac{\partial HU}{\partial x} + \frac{\partial HV}{\partial y} + \frac{\partial z_s}{\partial t} - \frac{\partial z_b}{\partial t} = 0 \end{aligned}$$

最后得

$$\frac{\partial H}{\partial t} + \frac{\partial HU}{\partial x} + \frac{\partial HV}{\partial y} = 0 \quad (2.47)$$

也可以写成

$$\frac{\partial H}{\partial t} + \nabla \cdot (H\mathbf{U}) = 0 \quad (2.48)$$

### 2.3.3 沿水深平均的运动方程

以  $x$  方向为例, 式(2.37b)沿水深积分为

$$\int_{z_b}^{z_s} \left[ \frac{\partial \bar{u}}{\partial t} + \frac{\partial(\bar{u}\bar{u})}{\partial x} + \frac{\partial(\bar{u}\bar{v})}{\partial y} + \frac{\partial(\bar{u}\bar{w})}{\partial z} + \frac{1}{\rho} \frac{\partial \bar{p}}{\partial x} - \nu_t \left( \frac{\partial^2 \bar{u}}{\partial x^2} + \frac{\partial^2 \bar{u}}{\partial y^2} + \frac{\partial^2 \bar{u}}{\partial z^2} \right) \right] dz = 0 \quad (2.49)$$

式(2.49)中包含了非恒定流项积分、对流项积分、压力项积分和阻力项积分。接下来分项讨论。

## (1) 非恒定流项积分

$$\begin{aligned} \int_{z_0}^{z_s} \frac{\partial \bar{u}}{\partial t} dz &= \frac{\partial}{\partial t} \int_{z_0}^{z_s} \bar{u} dz - \bar{u}|_{z_s} \frac{\partial z_s}{\partial t} + \bar{u}|_{z_b} \frac{\partial z_b}{\partial t} \\ &= \frac{\partial HU}{\partial t} - \bar{u}|_{z_s} \frac{\partial z_s}{\partial t} + \bar{u}|_{z_b} \frac{\partial z_b}{\partial t} \end{aligned} \quad (2.50)$$

## (2) 对流项积分

首先将时均流速按照式(2.51)进行分解

$$\begin{aligned} \bar{u} &= u + \Delta \bar{u} \\ \bar{v} &= v + \Delta \bar{v} \end{aligned} \quad (2.51)$$

式中,  $\Delta \bar{u}$  和  $\Delta \bar{v}$  分别为  $x$  和  $y$  的时均流速与垂线平均流速的差值。

对流项中第一项的积分

$$\int_{z_0}^{z_s} \frac{\partial \bar{u}\bar{u}}{\partial x} dz = \frac{\partial}{\partial x} \int_{z_0}^{z_s} \bar{u}\bar{u} dz - \bar{u}\bar{u}|_{z_s} \frac{\partial z_s}{\partial x} + \bar{u}\bar{u}|_{z_b} \frac{\partial z_b}{\partial x} \quad (2.52)$$

式中

$$\begin{aligned} \int_{z_0}^{z_s} \bar{u}\bar{u} dz &= \int_{z_0}^{z_s} (u + \Delta \bar{u})(u + \Delta \bar{u}) dz \\ &= \int_{z_0}^{z_s} (uu + 2u\Delta \bar{u} + \Delta \bar{u}\Delta \bar{u}) dz \\ &= HU + \int_{z_0}^{z_s} \Delta \bar{u}\Delta \bar{u} dz \\ &= \beta_{xx} HU \end{aligned}$$

其中

$$\beta_{xx} = 1 + \frac{\int_{z_0}^{z_s} \Delta \bar{u}\Delta \bar{u} dz}{HU} \quad (2.53)$$

是由于流速沿垂线分布不均匀而引入的修正系数, 类似于水力学中的动量修正系数。 $\beta_{xx}$  的取值一般在 1.02 与 1.05 之间, 可近似取为 1.0。因此

$$\int_{z_0}^{z_s} \frac{\partial \bar{u}\bar{u}}{\partial x} dz = \frac{\partial HU}{\partial x} - \bar{u}\bar{u}|_{z_s} \frac{\partial z_s}{\partial x} + \bar{u}\bar{u}|_{z_b} \frac{\partial z_b}{\partial x} \quad (2.54)$$

同理, 对流项的第二项可写为

$$\int_{z_0}^{z_s} \frac{\partial \bar{u}\bar{v}}{\partial y} dz = \frac{\partial HUV}{\partial y} - \bar{u}\bar{v}|_{z_s} \frac{\partial z_s}{\partial y} + \bar{u}\bar{v}|_{z_b} \frac{\partial z_b}{\partial y} \quad (2.55)$$

对流项的第三项

$$\int_{z_0}^{z_s} \frac{\partial \bar{u}\bar{w}}{\partial z} dz = \bar{u}\bar{w}|_{z_s} - \bar{u}\bar{w}|_{z_b} \quad (2.56)$$

将非恒定流项和对流项积分相加, 并利用自由表面和河床底部运动学条件可得:

$$\int_{z_b}^{z_s} \left[ \frac{\partial \bar{u}}{\partial t} + \frac{\partial(\bar{u}\bar{u})}{\partial x} + \frac{\partial(\bar{u}\bar{v})}{\partial y} + \frac{\partial(\bar{u}\bar{w})}{\partial z} \right] dz = \frac{\partial HU}{\partial t} + \frac{\partial HUU}{\partial x} + \frac{\partial HUV}{\partial y} \quad (2.57)$$

## (3) 压力项积分

$$\begin{aligned} \int_{z_b}^{z_s} \frac{\partial \bar{p}}{\partial x} dz &= \frac{\partial}{\partial x} \int_{z_b}^{z_s} \bar{p} dz - \bar{p}|_{z_s} \frac{\partial z_s}{\partial x} + \bar{p}|_{z_b} \frac{\partial z_b}{\partial x} \\ &= \frac{\partial}{\partial x} \int_{z_b}^{z_s} \rho g(z_s - z) dz - \rho g(z_s - z)|_{z_s} \frac{\partial z_s}{\partial x} + \rho g(z_s - z)|_{z_b} \frac{\partial z_b}{\partial x} \\ &= \rho g H \frac{\partial H}{\partial x} + \rho g H \frac{\partial z_b}{\partial x} = \rho g H \frac{\partial z_s}{\partial x} \end{aligned} \quad (2.58)$$

(4) 阻力项积分

$$\begin{aligned}
\int_{z_b}^{z_s} \frac{\partial^2 \bar{u}}{\partial x^2} dz &= \int_{z_b}^{z_s} \frac{\partial}{\partial x} \left( \frac{\partial \bar{u}}{\partial x} \right) dz = \frac{\partial}{\partial x} \int_{z_0}^{z_s} \frac{\partial \bar{u}}{\partial x} dz - \frac{\partial \bar{u}}{\partial x} \Big|_{z_s} \frac{\partial z_s}{\partial x} + \frac{\partial \bar{u}}{\partial x} \Big|_{z_b} \frac{\partial z_b}{\partial x} \\
&= \frac{\partial}{\partial x} \left( \frac{\partial}{\partial x} \int_{z_0}^{z_s} \bar{u} dz - \bar{u} \Big|_{z_s} \frac{\partial z_s}{\partial x} + \bar{u} \Big|_{z_b} \frac{\partial z_b}{\partial x} \right) - \frac{\partial \bar{u}}{\partial x} \Big|_{z_s} \frac{\partial z_s}{\partial x} + \frac{\partial \bar{u}}{\partial x} \Big|_{z_b} \frac{\partial z_b}{\partial x} \\
&= \frac{\partial^2 HU}{\partial x^2} + \frac{\partial}{\partial x} \left( -\bar{u} \Big|_{z_s} \frac{\partial z_s}{\partial x} + \bar{u} \Big|_{z_b} \frac{\partial z_b}{\partial x} \right) - \frac{\partial \bar{u}}{\partial x} \Big|_{z_s} \frac{\partial z_s}{\partial x} + \frac{\partial \bar{u}}{\partial x} \Big|_{z_b} \frac{\partial z_b}{\partial x}
\end{aligned} \tag{2.59}$$

类似地

$$\int_{z_b}^{z_s} \frac{\partial^2 \bar{u}}{\partial y^2} dz = \frac{\partial^2 HU}{\partial y^2} + \frac{\partial}{\partial y} \left( -\bar{u} \Big|_{z_s} \frac{\partial z_s}{\partial y} + \bar{u} \Big|_{z_b} \frac{\partial z_b}{\partial y} \right) - \frac{\partial \bar{u}}{\partial y} \Big|_{z_s} \frac{\partial z_s}{\partial y} + \frac{\partial \bar{u}}{\partial y} \Big|_{z_b} \frac{\partial z_b}{\partial y} \tag{2.60}$$

$$\int_{z_b}^{z_s} \frac{\partial^2 \bar{u}}{\partial y^2} dz = \frac{\partial \bar{u}}{\partial z} \Big|_{z_s} - \frac{\partial \bar{u}}{\partial z} \Big|_{z_b} \tag{2.61}$$

将式(2.59)至(2.61)相加, 得

$$\begin{aligned}
&\int_{z_b}^{z_s} \nu_t \left( \frac{\partial^2 \bar{u}}{\partial x^2} + \frac{\partial^2 \bar{u}}{\partial y^2} + \frac{\partial^2 \bar{u}}{\partial z^2} \right) dz = \\
&\nu_t \left( \frac{\partial^2 HU}{\partial x^2} + \frac{\partial^2 HU}{\partial y^2} \right) \\
&- \nu_t \left[ \frac{\partial}{\partial x} \left( \frac{\partial z_s}{\partial x} \bar{u} \Big|_{z_s} \right) + \frac{\partial}{\partial y} \left( \frac{\partial z_s}{\partial y} \bar{u} \Big|_{z_s} \right) + \frac{\partial \bar{u}}{\partial x} \Big|_{z_s} \frac{\partial z_s}{\partial x} + \frac{\partial \bar{u}}{\partial y} \Big|_{z_s} \frac{\partial z_s}{\partial y} - \frac{\partial \bar{u}}{\partial z} \Big|_{z_s} \right] \\
&+ \nu_t \left[ \frac{\partial}{\partial x} \left( \frac{\partial z_b}{\partial x} \bar{u} \Big|_{z_b} \right) + \frac{\partial}{\partial y} \left( \frac{\partial z_b}{\partial y} \bar{u} \Big|_{z_b} \right) + \frac{\partial \bar{u}}{\partial x} \Big|_{z_b} \frac{\partial z_b}{\partial x} + \frac{\partial \bar{u}}{\partial y} \Big|_{z_b} \frac{\partial z_b}{\partial y} - \frac{\partial \bar{u}}{\partial z} \Big|_{z_b} \right]
\end{aligned} \tag{2.62}$$

式(2.62)中右边后两项分别为由底部床面阻力和自由表面风阻力引起的阻力项, 通常可以式(2.63)表示:

$$g \frac{n^2 U \sqrt{U^2 + V^2}}{H^{1/3}} - C_w \frac{\rho_a}{\rho} \omega^2 \cos \beta \tag{2.63}$$

式中,  $C_w$  为无因此风应力系数,  $\rho_a$  为空气密度,  $\omega$  为风速,  $\beta$  为风向与  $x$  方向的夹角。最后,  $x$  方向的运动方程为

$$\begin{aligned}
&\frac{\partial HU}{\partial t} + \frac{\partial HUU}{\partial x} + \frac{\partial HUV}{\partial y} = \\
&- gH \frac{\partial z_s}{\partial x} - g \frac{n^2 U \sqrt{U^2 + V^2}}{H^{1/3}} + \nu_t \left( \frac{\partial^2 HU}{\partial x^2} + \frac{\partial^2 HU}{\partial y^2} \right) + C_w \frac{\rho_a}{\rho} \omega^2 \cos \beta
\end{aligned} \tag{2.64}$$

同理可得,  $y$  方向运动方程为

$$\begin{aligned}
&\frac{\partial HV}{\partial t} + \frac{\partial HUV}{\partial x} + \frac{\partial HVV}{\partial y} = \\
&- gH \frac{\partial z_s}{\partial y} - g \frac{n^2 V \sqrt{U^2 + V^2}}{H^{1/3}} + \nu_t \left( \frac{\partial^2 HV}{\partial x^2} + \frac{\partial^2 HV}{\partial y^2} \right) + C_w \frac{\rho_a}{\rho} \omega^2 \sin \beta
\end{aligned} \tag{2.65}$$

当自由表面风应力影响较小时, 风应力项可以忽略。此外, 当模拟区域尺度较大, 还要考虑地球自转的影响, 可在方程(2.64)和(2.65)右边分别加入科氏力。

$$\begin{aligned}
f_x &= 2\omega \sin \varphi U \\
f_y &= 2\omega \sin \varphi V
\end{aligned} \tag{2.66}$$

式中,  $\omega$  为地球自转角速度,  $\varphi$  为模拟区域所处纬度。

根据推导过程中所采用的假定条件, 在使用二维浅水方程时应注意以下问题:

1. 方程推导中引用了牛顿流体所满足的本构关系式, 因此上述方程只适用于牛顿流体, 对类似高含沙水流的非牛顿流体不适用。
2. 方程推导中对流体做了均质不可压的假设, 因此上述方程只能在含沙量较小的情况下近似使用, 当含沙量较大时, 应考虑密度变化的影响。
3. 在垂向积分过程中, 略去流速等水力参数沿垂直方向的变化, 并假定沿水深方向的动水压强分布符合静水压强分布。因此所研究问题的水平尺度应远大于垂向尺度, 流速等水力参数沿垂直方向的变化较之沿水平方向的变化要小得多。

### 2.3.4 二维平面浅水方程不同形式

忽略风应力和科氏力的二维平面浅水方程为

$$\begin{aligned} \frac{\partial H}{\partial t} + \frac{\partial HU}{\partial x} + \frac{\partial HV}{\partial y} &= 0 \\ \frac{\partial HU}{\partial t} + \frac{\partial HUU}{\partial x} + \frac{\partial HUV}{\partial y} &= -gH \frac{\partial z_s}{\partial x} - g \frac{n^2 U \sqrt{U^2 + V^2}}{H^{1/3}} + \nu_t \left( \frac{\partial^2 HU}{\partial x^2} + \frac{\partial^2 HU}{\partial y^2} \right) \\ \frac{\partial HV}{\partial t} + \frac{\partial HUV}{\partial x} + \frac{\partial HVV}{\partial y} &= -gH \frac{\partial z_s}{\partial y} - g \frac{n^2 V \sqrt{U^2 + V^2}}{H^{1/3}} + \nu_t \left( \frac{\partial^2 HV}{\partial x^2} + \frac{\partial^2 HV}{\partial y^2} \right) \end{aligned} \quad (2.67)$$

当床面阻力占主导作用时, 还可进一步忽略紊动阻力项。

$$\begin{aligned} \frac{\partial H}{\partial t} + \frac{\partial HU}{\partial x} + \frac{\partial HV}{\partial y} &= 0 \\ \frac{\partial HU}{\partial t} + \frac{\partial (HUU + gH^2/2)}{\partial x} + \frac{\partial HUV}{\partial y} &= -gH \frac{\partial z_b}{\partial x} - g \frac{n^2 U \sqrt{U^2 + V^2}}{H^{1/3}} \\ \frac{\partial HV}{\partial t} + \frac{\partial HUV}{\partial x} + \frac{\partial (HV V + gH^2/2)}{\partial y} &= -gH \frac{\partial z_b}{\partial y} - g \frac{n^2 V \sqrt{U^2 + V^2}}{H^{1/3}} \end{aligned} \quad (2.68)$$

此外, 为了书写的简化, 用  $h$  替代  $H$ ,  $u$  替代  $U$ ,  $v$  替代  $V$ , 定义  $x$  和  $y$  方向的流量分别为  $q_x = hu$  和  $q_y = hv$ , 上式可写成

$$\begin{aligned} \frac{\partial h}{\partial t} + \frac{\partial q_x}{\partial x} + \frac{\partial q_y}{\partial y} &= 0 \\ \frac{\partial q_x}{\partial t} + \frac{\partial (uq_x + gh^2/2)}{\partial x} + \frac{\partial vq_y}{\partial y} &= -gh \frac{\partial z_b}{\partial x} - g \frac{n^2 u \sqrt{u^2 + v^2}}{h^{1/3}} \\ \frac{\partial q_y}{\partial t} + \frac{\partial uq_y}{\partial x} + \frac{\partial (vq_y + gh^2/2)}{\partial y} &= -gh \frac{\partial z_b}{\partial y} - g \frac{n^2 v \sqrt{u^2 + v^2}}{h^{1/3}} \end{aligned} \quad (2.69)$$

上式的向量形式为:

$$\frac{\partial \mathbf{q}}{\partial t} + \frac{\partial \mathbf{f}}{\partial x} + \frac{\partial \mathbf{g}}{\partial y} = \mathbf{S}_b + \mathbf{S}_f \quad (2.70)$$

其中,  $\mathbf{q}$  为守恒变量向量,  $\mathbf{f}$  和  $\mathbf{g}$  分别为  $x$  和  $y$  方向的通量向量,  $\mathbf{S}_b$  和  $\mathbf{S}_f$  分别为河床底坡和阻力源项向量。这些向量的具体元素为:

$$\mathbf{q} = \begin{bmatrix} h \\ hu \\ hv \end{bmatrix}, \mathbf{f} = \begin{bmatrix} hu \\ hu^2 + \frac{1}{2}gh^2 \\ huv \end{bmatrix}, \mathbf{g} = \begin{bmatrix} hv \\ huv \\ hu^2 + \frac{1}{2}gh^2 \end{bmatrix}, \mathbf{S}_b = \begin{bmatrix} 0 \\ -gh \frac{\partial z_b}{\partial x} \\ -gh \frac{\partial z_b}{\partial y} \end{bmatrix}, \mathbf{S}_f = \begin{bmatrix} 0 \\ -g \frac{n^2 u \sqrt{u^2 + v^2}}{h^{1/3}} \\ -g \frac{n^2 v \sqrt{u^2 + v^2}}{h^{1/3}} \end{bmatrix} \quad (2.71)$$

## 2.4 一维非恒定流基本控制方程

### 2.4.1 一维连续性方程

如图2.4所示, 在明槽非恒定流中, 沿水流流动方向取长为  $dx$  的微小流段。流段进口 1-1 断面流量为  $Q$ , 在  $\Delta t$  时段内, 从 1-1 断面进入流段的液体质量为  $\rho Q \Delta t$ 。流段出口 2-2 断面流量为  $Q + \frac{\partial Q}{\partial x} dx$ , 在  $\Delta t$  时段内, 从 2-2 断面流出的液体质量为  $\rho Q \Delta t + \rho \frac{\partial Q}{\partial x} dx \Delta t$ 。该时段内进出此流段的液体质量差为  $-\rho \frac{\partial Q}{\partial x} dx \Delta t$ 。

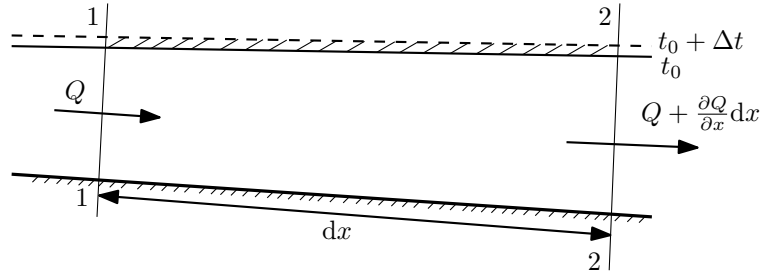


图 2.4: 一维水流运动示意图

时段内的质量差表现为流段内的槽蓄量变化。在起始时刻, 流段内的槽蓄量为  $\rho \bar{A} dx$ 。而经过  $\Delta t$  时段后, 流段内的槽蓄量为  $\rho \left( \bar{A} + \frac{\partial \bar{A}}{\partial t} \Delta t \right) dx$ 。  $\Delta t$  时段内, 流段内的槽蓄量变化量为  $\rho \frac{\partial \bar{A}}{\partial t} \Delta t dx$ 。其中  $\bar{A}$  为微小流段的平均过水面积。当流段内过水断面面积变化较小时, 可直接用 1-1 断面段面积  $A$  来替代  $\bar{A}$ 。

因此, 根据质量守恒原理, 进出该流段的液体质量差等于流段内槽蓄量改变量, 即

$$-\rho \frac{\partial Q}{\partial x} dx \Delta t = \rho \frac{\partial A}{\partial t} dx \Delta t$$

化简后得到明槽一维非恒定流连续性方程

$$\frac{\partial A}{\partial t} + \frac{\partial Q}{\partial x} = 0 \quad (2.72)$$

如果在该流段内有旁侧入流或出流, 且单位长度旁侧入流流量为  $q$  ( $q > 0$  为入流,  $q < 0$  为出流), 考虑旁侧入流得明槽一维非恒定流连续性方程为

$$\frac{\partial A}{\partial t} + \frac{\partial Q}{\partial x} = q \quad (2.73)$$

### 2.4.2 一维运动方程

设坐标轴  $x$  方向与水流流动方向一致, 根据牛顿第二定律建立运动方程。为分析简单起见, 首先考虑棱柱体明槽 (如图2.5) 的情况。

作用在 1-1 断面的所有外力在  $x$  方向的分力有:

(1) 总动水压力。

设压强分布服从静水压强分布, 则作用在 1-1 断面的水压力

$$P = \int_0^h \rho g (h - y) \xi(y) dy \quad (2.74)$$

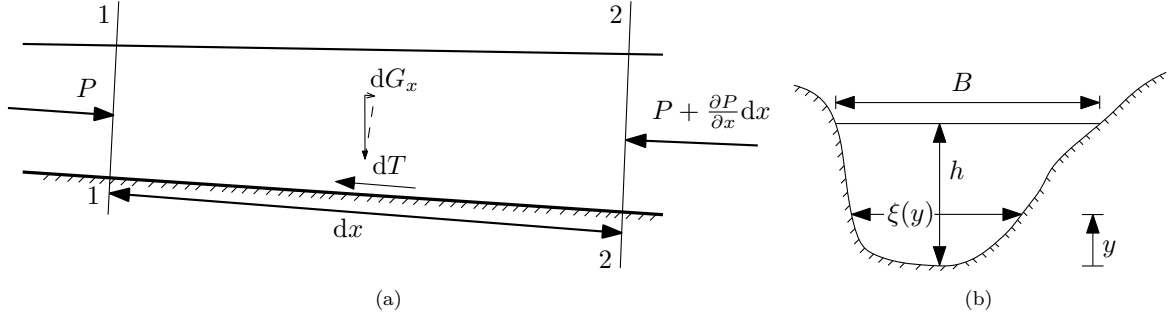


图 2.5: 一维水流运动示意图

式中,  $\xi(y)$  为过水断面上距渠底  $y$  处的宽度。作用于 2-2 断面的水压力为  $P + \frac{\partial P}{\partial x}dx$ 。则沿  $x$  方向的总动水压力

$$\begin{aligned} \sum P &= P - \left( P + \frac{\partial P}{\partial x}dx \right) \\ &= -\gamma dx \left[ \frac{\partial h}{\partial x} \int_0^h \xi(y)dy + \int_0^h (h-y) \frac{\partial \xi(y)}{\partial x} dy \right] \end{aligned} \quad (2.75)$$

因假定明槽为棱柱体明槽, 有  $\frac{\partial \xi(y)}{\partial x} = 0$ 。则有

$$\sum P = -\gamma A \frac{\partial h}{\partial x} dx \quad (2.76)$$

(2) 重力

$$dG_x = dG \sin \alpha = -\gamma A dx \frac{\partial z}{\partial x} \quad (2.77)$$

式中,  $\alpha$  为坐标轴  $x$  与水平方向的夹角,  $A$  为过水断面面积。

(3) 侧壁面上的阻力

$$dT = \tau_0 \chi dx = \gamma R J \chi dx = \gamma A J dx \quad (2.78)$$

式中,  $\chi$  为过水断面湿周,  $R$  为过水断面水力半径,  $J$  为水力坡度,  $\tau_0 = \gamma R J$  为侧壁表面平均切应力。

其次, 由于流速  $U$  是  $x$  和  $t$  的函数, 则水流沿  $x$  方向的加速度  $a_x$  为

$$a_x = \frac{dU}{dt} = \frac{\partial U}{\partial t} + U \frac{\partial U}{\partial x} \quad (2.79)$$

微小流段内的水体质量为  $dm = \rho A dx$ 。

根据牛顿第二定律, 有  $\sum F_x = dma_x$ , 即

$$-\gamma A \frac{\partial h}{\partial x} dx - \gamma A \frac{\partial z}{\partial x} dx - \gamma A J dx = \rho A dx \left( \frac{\partial U}{\partial t} + U \frac{\partial U}{\partial x} \right) \quad (2.80)$$

上式两边同除以  $\gamma A dx$  并整理得:

$$\frac{\partial z}{\partial x} + \frac{1}{g} \frac{\partial U}{\partial t} + \frac{U}{g} \frac{\partial U}{\partial x} + J = 0 \quad (2.81)$$

式(2.81)即为棱柱体明槽非恒定流运动方程得一般形式。对于非棱柱体明槽 (比如河槽向下游缩窄或展宽), 则两岸壁将对微小流段水体作用一附加压力, 该附加压力可表示为

$$P' = \int_0^h \left[ \rho g (h-y) \frac{\partial \xi(y)}{\partial x} \right] dy \quad (2.82)$$

将附加压力代式(2.75)入中, 恰好与该式最后一项抵消。因此对于非棱柱体明槽, 式(2.81)仍适用。



### 2.4.3 圣维南方程不同形式

连续性方程(2.72)和运动方程(2.81)构成了描述明槽非恒定渐变流的圣维南方程组。在实际应用中, 为了使用方便, 常对式(2.72)和 (2.81)进行改写, 得到不同因变量组合的圣维南方程组。

(1) 以水位  $z$  和流量  $Q$  为因变量的圣维南方程组

$$\begin{aligned} B \frac{\partial z}{\partial t} + \frac{\partial Q}{\partial x} &= q \\ \frac{\partial Q}{\partial t} + \frac{2Q}{A} \frac{\partial Q}{\partial x} + \left[ gA - B \left( \frac{Q}{A} \right)^2 \right] \frac{\partial z}{\partial x} &= \left( \frac{Q}{A} \right)^2 \frac{\partial A}{\partial x} \Big|_z - gA \frac{Q^2}{K^2} \end{aligned} \quad (2.83)$$

(2) 以水深  $h$  和流量  $Q$  为因变量的圣维南方程组

$$\begin{aligned} B \frac{\partial h}{\partial t} + \frac{\partial Q}{\partial x} &= q \\ \frac{\partial Q}{\partial t} + \frac{2Q}{A} \frac{\partial Q}{\partial x} + \left[ gA - B \left( \frac{Q}{A} \right)^2 \right] \frac{\partial h}{\partial x} &= \left( \frac{Q}{A} \right)^2 \frac{\partial A}{\partial x} \Big|_h - gA \frac{Q^2}{K^2} \end{aligned} \quad (2.84)$$

(3) 以水位  $z$  和流量  $U$  为因变量的圣维南方程组

$$\begin{aligned} \frac{\partial z}{\partial t} + U \frac{\partial z}{\partial x} + \frac{A}{B} \frac{\partial U}{\partial x} &= \frac{1}{B} \left( q - BiU - U \frac{\partial A}{\partial x} \Big|_z \right) \\ \frac{\partial U}{\partial t} + U \frac{\partial U}{\partial x} + g \frac{\partial z}{\partial x} &= -g \frac{U^2}{C^2 R} \end{aligned} \quad (2.85)$$

(4) 以水深  $h$  和流量  $U$  为因变量的圣维南方程组

$$\begin{aligned} \frac{\partial h}{\partial t} + U \frac{\partial h}{\partial x} + \frac{A}{B} \frac{\partial U}{\partial x} &= \frac{1}{B} \left( q - U \frac{\partial A}{\partial x} \Big|_h \right) \\ \frac{\partial U}{\partial t} + U \frac{\partial U}{\partial x} + g \frac{\partial z}{\partial x} &= g \left( i - \frac{U^2}{C^2 R} \right) \end{aligned} \quad (2.86)$$

(5) 以过水断面面积  $A$  和  $Q$  为因变量的圣维南方程组

$$\begin{aligned} \frac{\partial A}{\partial t} + \frac{\partial Q}{\partial x} &= q \\ \frac{\partial Q}{\partial t} + \frac{\partial}{\partial x} \left( \frac{Q^2}{A} \right) &= -gA \frac{\partial h}{\partial x} - gA \frac{\partial z_b}{\partial x} - g \frac{n^2 |U|}{R^{4/3}} Q \end{aligned} \quad (2.87)$$

或

$$\begin{aligned} \frac{\partial A}{\partial t} + \frac{\partial Q}{\partial x} &= q \\ \frac{\partial Q}{\partial t} + \frac{\partial}{\partial x} \left( \frac{Q^2}{A} \right) &= -gA \frac{\partial Z}{\partial x} - g \frac{n^2 Q |Q|}{AR^{4/3}} \end{aligned} \quad (2.88)$$

## 2.5 偏微分方程类型和性质

### 2.5.1 偏微分方程形式

本章前几节所推导的方程都属于偏微分方程, 形式各异。对同一模型建立的控制方程也有多种不同的形式。在数值计算中, 若控制方程的对流项采用散度的形式来表示, 这类方程被称为守恒型的控制方程, 否则被称为非恒定形式。

理论上, 从微元体角度来看, 守恒型微分方程和非守恒型微分方程是等价的, 都是同一物理定律的数学表示。但是, 数值计算是对有限大小的计算单元进行的, 对有限大小的计算体积, 两种形

式的控制方程有不同的特性。守恒型微分方程允许流动参数在计算单元或控制体内部存在间断；而非守恒型微分方程要求流动参数是可微的。因此，基于守恒型微分方程的数值方法，可以直接用来计算有间断（如激波）的流场，且不用对间断进行任何特殊处理。这类数值方法被称为激波捕捉方法。而基于非守恒型微分方程的数值方法，一般无法正确的计算有间断的流场。为了处理有间断的流动，这类方法必须与激波装配方法联合使用。简单来说，激波装配方法是把间断从流场中分离出来，当作流场的边界来处理。

### 2.5.2 控制方程的数学分类及其对数值解的影响

根据偏微分方程理论，偏微分方程可以被划分成不同的类型，方程的类型决定了定解条件的提法、解的性质以及数值求解过程。

**双曲型微分方程：** 流场中任一点产生的某种扰动将以有限的速度在该点的影响域内传播。

**抛物型微分方程**

**椭圆型微分方程**

### 2.5.3 边界条件

## 第三章 有限差分法

上一章推导的控制方程的解析解，如果可以得出，将可以给出所有因变量在求解域上连续函数。然而，除了个别极其简单的流动情况，这类方程的解析解往往很难获得。因此，我们只能退而求其次，通过将连续的空间和时间分割成不连续的散点（分别称为网格点和时间节点），并将控制方程在这些散点上离散，得出与原方程近似但可求解的代数方程组，最终得出原方程在这些散点上的近似解。

在实际的数值模拟过程中，网格点或时间节点的划分是不均匀的。为了后续推导方便，本章假定网格点和时间节点的间距都是均匀分布的。此外，本章只关注结构网格，对非结构网格可参见其他参考书。

### 3.1 泰勒展开

考虑一个  $x$  的连续函数  $f(x)$  在  $x$  处的所有阶导数都存在。那么， $f$  在点  $x + \Delta x$  处的值可以通过在点  $x$  处的泰勒级数展开来估算。

$$f(x + \Delta x) = f(x) + \frac{\partial f}{\partial x} \Delta x + \frac{\partial^2 f}{\partial x^2} \frac{\Delta x^2}{2} + \cdots + \frac{\partial^n f}{\partial x^n} \frac{\Delta x^n}{n!} + \cdots \quad (3.1)$$

假定  $f(x) = \sin 2\pi x$ ，且已知  $x = 0.2$  处，函数值  $f = 0.9511$ 。我们希望估算  $x + \Delta x = 0.22$  处的函数值。根据方程表达式，该点的精确值为 0.9823。首先，我们利用泰勒级数展开的第一项来估算，有

$$\begin{aligned} f(x + \Delta x) &\approx f(x) \\ f(0.22) &\approx f(0.2) = 0.9511 \end{aligned} \quad (3.2)$$

估算值的相对误差为  $(0.9823 - 0.9511)/0.9823 = 3.176\%$ 。接着，我们利用展开式的前两项来估算，有

$$\begin{aligned} f(x + \Delta x) &\approx f(x) + \frac{\partial f}{\partial x} \Delta x \\ f(0.22) &\approx f(0.2) + 2\pi \cos [2\pi(0.2)](0.02) \\ &\approx 0.9511 + 0.388 = 0.9899 \end{aligned} \quad (3.3)$$

估算值的相对误差为  $(0.9899 - 0.9823)/0.9823 = 0.775\%$ ，相比于第一次的估算值更加接近精确值。最后，为了获得更加精确的估算值，我们可以利用展开式的前三项，有

$$\begin{aligned} f(x + \Delta x) &\approx f(x) + \frac{\partial f}{\partial x} \Delta x + \frac{\partial^2 f}{\partial x^2} \frac{(\Delta x)^2}{2} \\ f(0.22) &\approx f(0.2) + 2\pi \cos [2\pi(0.2)](0.02) - 4\pi^2 \sin [2\pi(0.2)] \frac{0.02^2}{2} \\ &\approx 0.9511 + 0.0388 - 0.0075 \\ &\approx 0.9824 \end{aligned} \quad (3.4)$$

估算值的相对误差为  $(0.9824 - 0.9823)/0.9823 = 0.01\%$ ，即仅用泰勒展开式的前三项就可以得到一个非常接近精确值的估算值。

## 3.2 离散基础知识

图3.1中给出了一个结构网格的例子。图中，网格点，即两条网格线的交点，可以用  $(i, j)$  进行标示，其中， $i$  是沿  $x$  方向的索引， $j$  是沿  $y$  方向的索引。假定图中  $P$  的索引为  $(i, j)$ ，那么，紧邻  $P$  右边的点的索引为  $(i + 1, j)$ ，紧邻  $P$  左边的点的索引为  $(i - 1, j)$ ，紧邻  $P$  上边的点的索引为  $(i, j + 1)$ ，紧邻  $P$  下边的点的索引为  $(i, j - 1)$ 。对非恒定流中，离散的当前时间层用上标  $n$  来标记，下一个时间层用上标  $n + 1$  来标记，前一个时间层用上标  $n - 1$  来标记。

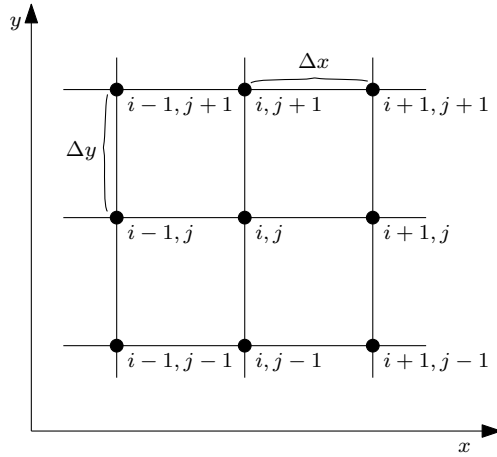


图 3.1: 结构网格离散网格节点示意

### 3.2.1 一阶偏导数的差分表达式

点  $(i, j)$  上  $x$  方向速度用  $u_{i,j}$  表示，点  $(i + 1, j)$  上  $x$  方向速度  $u_{i+1,j}$  可以在点  $(i, j)$  上通过泰勒级数展开为：

$$u_{i+1,j} = u_{i,j} + \left( \frac{\partial u}{\partial x} \right)_{i,j} \Delta x + \left( \frac{\partial^2 u}{\partial x^2} \right)_{i,j} \frac{(\Delta x)^2}{2} + \left( \frac{\partial^3 u}{\partial x^3} \right)_{i,j} \frac{(\Delta x)^3}{3!} + \dots \quad (3.5)$$

用上式求解  $(\partial u / \partial x)_{i,j}$ ，可得

$$\left( \frac{\partial u}{\partial x} \right)_{i,j} = \underbrace{\frac{u_{i+1,j} - u_{i,j}}{\Delta x}}_{\text{差分表达式}} - \underbrace{\left( \frac{\partial^2 u}{\partial x^2} \right)_{i,j} \frac{\Delta x}{2} - \left( \frac{\partial^3 u}{\partial x^3} \right)_{i,j} \frac{(\Delta x)^2}{6} + \dots}_{\text{截断误差}} \quad (3.6)$$

上式中，如果我们用等号右边的差商  $(u_{i+1,j} - u_{i,j})/\Delta x$  来近似  $(\partial u / \partial x)_{i,j}$ ，则该项为偏导数的差分表达式，等号右边的其他项为截断误差，可以省略。即，

$$\left( \frac{\partial u}{\partial x} \right)_{i,j} \approx \frac{u_{i+1,j} - u_{i,j}}{\Delta x} \quad (3.7)$$

式(3.6)也可写成

$$\left( \frac{\partial u}{\partial x} \right)_{i,j} = \frac{u_{i+1,j} - u_{i,j}}{\Delta x} + O(\Delta x) \quad (3.8)$$

从上式可看出, 被省略的截断误差中  $\Delta x$  的幂次最小的那一项决定了上式的精度。截断误差中  $\Delta x$  的幂次即为式(3.8)的精度。上式中截断误差中  $\Delta x$  的最小幂次为 1。因而, 式(3.8)为一阶精度, 此外, 式(3.8)中差分表达式使用了网格点  $(i, j)$  及其右侧相邻网格点  $(i+1, j)$  的信息, 没有使用  $(i, j)$  左侧网格点信息。因此, 式(3.8)也叫做向前差分。综上, 式(3.8)为一阶偏导数  $(\partial u / \partial x)_{i,j}$  的一阶向前差分。

同理,  $u_{i-1,j}$  在  $(i, j)$  上进行泰勒级数展开为

$$u_{i-1,j} = u_{i,j} - \left( \frac{\partial u}{\partial x} \right)_{i,j} \Delta x + \left( \frac{\partial^2 u}{\partial x^2} \right)_{i,j} \frac{(\Delta x)^2}{2} - \left( \frac{\partial^3 u}{\partial x^3} \right)_{i,j} \frac{(\Delta x)^3}{3!} + \dots \quad (3.9)$$

利用上式求解  $(\partial u / \partial x)_{i,j}$ , 得

$$\left( \frac{\partial u}{\partial x} \right)_{i,j} = \frac{u_{i,j} - u_{i-1,j}}{\Delta x} + O(\Delta x) \quad (3.10)$$

上式中没有使用网格点  $(i, j)$  右侧网格点信息。因而, 式(3.10)为向后差分。此外, 上式中, 截断误差中  $\Delta x$  的最低幂次为 1。因此, 式(3.10)为一阶偏导数  $(\partial u / \partial x)_{i,j}$  的一阶向后差分。

在计算水动力学、计算流体力学的实际应用中, 一阶精度往往是不够的。为了构造一个二阶精度的差分, 将式(3.9)从式(3.5)中减去:

$$u_{i+1,j} - u_{i-1,j} = 2 \left( \frac{\partial u}{\partial x} \right)_{i,j} \Delta x + 2 \left( \frac{\partial^3 u}{\partial x^3} \right)_{i,j} \frac{(\Delta x)^3}{3!} + \dots \quad (3.11)$$

上式可写成

$$\left( \frac{\partial u}{\partial x} \right)_{i,j} = \frac{u_{i+1,j} - u_{i-1,j}}{2\Delta x} + O(\Delta x)^2 \quad (3.12)$$

式(3.12)中使用了点  $(i, j)$  两侧节点  $(i+1, j)$  和  $(i-1, j)$  的信息。另外, 式(3.12)中截断误差的最低幂次为 2。因此, 式(3.12)是一阶偏导数  $(\partial u / \partial x)_{i,j}$  的二阶中心差分。

同理, 可以得到一阶偏导数  $(\partial u / \partial y)_{i,j}$  和  $(\partial u / \partial t)_{i,j}$  的差分格式。总结如下:

$$\left( \frac{\partial u}{\partial x} \right)_{i,j} = \begin{cases} \frac{u_{i+1,j} - u_{i,j}}{\Delta x} + O(\Delta x) & \text{一阶向前差分} \\ \frac{u_{i,j} - u_{i-1,j}}{\Delta x} + O(\Delta x) & \text{一阶向后差分} \\ \frac{u_{i+1,j} - u_{i-1,j}}{2\Delta x} + O(\Delta x)^2 & \text{二阶中心差分} \end{cases} \quad (3.13)$$

$$\left( \frac{\partial u}{\partial y} \right)_{i,j} = \begin{cases} \frac{u_{i,j+1} - u_{i,j}}{\Delta y} + O(\Delta y) & \text{一阶向前差分} \\ \frac{u_{i,j} - u_{i,j-1}}{\Delta y} + O(\Delta y) & \text{一阶向后差分} \\ \frac{u_{i,j+1} - u_{i,j-1}}{2\Delta y} + O(\Delta y)^2 & \text{二阶中心差分} \end{cases} \quad (3.14)$$

$$\left( \frac{\partial u}{\partial t} \right)_{i,j}^n = \begin{cases} \frac{u_{i,j}^{n+1} - u_{i,j}^n}{\Delta t} + O(\Delta t) & \text{一阶向前差分} \\ \frac{u_{i,j}^n - u_{i,j}^{n-1}}{\Delta t} + O(\Delta t) & \text{一阶向后差分} \\ \frac{u_{i,j}^{n+1} - u_{i,j}^{n-1}}{2\Delta t} + O(\Delta t)^2 & \text{二阶中心差分} \end{cases} \quad (3.15)$$

### 3.2.2 二阶偏导数的差分表达式

将式(3.5)和式(3.9)相加, 可得

$$u_{i+1,j} + u_{i-1,j} = 2u_{i,j} + \left(\frac{\partial^2 u}{\partial x^2}\right)_{i,j} (\Delta x)^2 + \left(\frac{\partial^4 u}{\partial x^4}\right)_{i,j} \frac{(\Delta x)^4}{12} + \dots \quad (3.16)$$

利用上式求解出  $(\partial^2 u / \partial x^2)_{i,j}$ ,

$$\left(\frac{\partial^2 u}{\partial x^2}\right)_{i,j} = \frac{u_{i+1,j} - 2u_{i,j} + u_{i-1,j}}{(\Delta x)^2} + O(\Delta x)^2 \quad (3.17)$$

式(3.17)中, 等号右边第一项是二阶偏导数  $(\partial^2 u / \partial x^2)_{i,j}$  的中心差分截断误差中  $\Delta x$  的最小幂次为 2, 因此该式为二阶精度。同理, 我们可以得到  $(\partial^2 u / \partial y^2)_{i,j}$  的二阶精度中心差分,

$$\left(\frac{\partial^2 u}{\partial y^2}\right)_{i,j} = \frac{u_{i,j+1} - 2u_{i,j} + u_{i,j-1}}{(\Delta y)^2} + O(\Delta y)^2 \quad (3.18)$$

对于二阶混合偏导, 如  $\partial^2 u / \partial x \partial y$ , 可以采用与上面类似的处理方式得到。首先, 将式(3.5)对  $y$  求偏导, 得

$$\left(\frac{\partial u}{\partial y}\right)_{i+1,j} = \left(\frac{\partial u}{\partial y}\right)_{i,j} + \left(\frac{\partial^2 u}{\partial x \partial y}\right)_{i,j} \Delta x + \left(\frac{\partial^3 u}{\partial x^2 \partial y}\right)_{i,j} \frac{(\Delta x)^2}{2} + \left(\frac{\partial^4 u}{\partial x^3 \partial y}\right)_{i,j} \frac{(\Delta x)^3}{6} + \dots \quad (3.19)$$

然后, 将式(3.9)对  $y$  求偏导, 得

$$\left(\frac{\partial u}{\partial y}\right)_{i-1,j} = \left(\frac{\partial u}{\partial y}\right)_{i,j} - \left(\frac{\partial^2 u}{\partial x \partial y}\right)_{i,j} \Delta x + \left(\frac{\partial^3 u}{\partial x^2 \partial y}\right)_{i,j} \frac{(\Delta x)^2}{2} - \left(\frac{\partial^4 u}{\partial x^3 \partial y}\right)_{i,j} \frac{(\Delta x)^3}{6} + \dots \quad (3.20)$$

将式(3.19)中减去式(3.20), 得

$$\left(\frac{\partial u}{\partial y}\right)_{i+1,j} - \left(\frac{\partial u}{\partial y}\right)_{i-1,j} = 2 \left(\frac{\partial^2 u}{\partial x \partial y}\right)_{i,j} \Delta x + \left(\frac{\partial^4 u}{\partial x^3 \partial y}\right)_{i,j} \frac{(\Delta x)^3}{3} + \dots \quad (3.21)$$

从上式中求解  $(\partial^2 u / \partial x \partial y)_{i,j}$ , 得

$$\left(\frac{\partial^2 u}{\partial x \partial y}\right)_{i,j} = \frac{(\partial u / \partial y)_{i+1,j} - (\partial u / \partial y)_{i-1,j}}{2\Delta x} - \left(\frac{\partial^4 u}{\partial x^3 \partial y}\right)_{i,j} \frac{(\Delta x)^3}{6} + \dots \quad (3.22)$$

上式中等式右侧第一项中需要求解  $(\partial u / \partial y)_{i+1,j}$  和  $(\partial u / \partial y)_{i-1,j}$ 。利用上一小节所得到一阶偏导数的中心差分, 得

$$\left(\frac{\partial u}{\partial y}\right)_{i+1,j} = \frac{u_{i+1,j+1} - 2u_{i+1,j} + u_{i+1,j-1}}{2\Delta y} + O(\Delta y)^2 \quad (3.23)$$

$$\left(\frac{\partial u}{\partial y}\right)_{i-1,j} = \frac{u_{i-1,j+1} - 2u_{i-1,j} + u_{i-1,j-1}}{2\Delta y} + O(\Delta y)^2 \quad (3.24)$$

将上两式代入式(3.22), 可得

$$\left(\frac{\partial^2 u}{\partial x \partial y}\right)_{i,j} = \frac{u_{i+1,j+1} - u_{i+1,j-1} - u_{i-1,j+1} + u_{i-1,j-1}}{4\Delta x \Delta y} + O[(\Delta x)^2, (\Delta y)^2] \quad (3.25)$$

本节所列出的差分格式只是所有差分格式的一小部分。同一个导数可以有许多不同的差分格式, 特别是更高精度的差分格式。高精度的差分格式通常需要引入更多网格点的信息。例如, 下式给出的  $\partial^2 u / \partial x^2$  的四阶精度中心差分格式:

$$\left(\frac{\partial^2 u}{\partial x^2}\right)_{i,j} = \frac{-u_{i+2,j} + 16u_{i+1,j} - 30u_{i,j} + 16u_{i-1,j} - u_{i-2,j}}{12(\Delta x)^2} + O(\Delta x)^4 \quad (3.26)$$

### 3.2.3 待定系数法

高阶格式的推导可用待定系数法得出。以上述的四阶精度中心差分格式推导为例。我们需要利用  $(i-2, j), (i-1, j), (i, j), (i+1, j), (i+2, j)$  这几个节点来构造出四阶精度的差分格式，即

$$\left(\frac{\partial^2 u}{\partial x^2}\right)_{i,j} = Au_{i+2,j} + Bu_{i+1,j} + Cu_{i,j} + Du_{i-1,j} + Eu_{i-2,j} + O(\Delta x)^4 \quad (3.27)$$

其中，系数  $A, B, C, D, E$  分别为待定系数。

首先，利用泰勒级数展开将这  $u_{i-2,j}, u_{i-1,j}, u_{i+1,j}, u_{i+2,j}$  在  $(i, j)$  上展开，得：

$$\begin{aligned} u_{i-2,j} &= u_{i,j} + \left(\frac{\partial u}{\partial x}\right)_{i,j} (-2\Delta x) + \left(\frac{\partial^2 u}{\partial x^2}\right)_{i,j} \frac{(-2\Delta x)^2}{2} + \left(\frac{\partial^3 u}{\partial x^3}\right)_{i,j} \frac{(-2\Delta x)^3}{3!} \\ &\quad + \left(\frac{\partial^4 u}{\partial x^4}\right)_{i,j} \frac{(-2\Delta x)^4}{4!} + \left(\frac{\partial^5 u}{\partial x^5}\right)_{i,j} \frac{(-2\Delta x)^5}{5!} + \left(\frac{\partial^6 u}{\partial x^6}\right)_{i,j} \frac{(-2\Delta x)^6}{6!} + \dots \\ u_{i-1,j} &= u_{i,j} + \left(\frac{\partial u}{\partial x}\right)_{i,j} (-\Delta x) + \left(\frac{\partial^2 u}{\partial x^2}\right)_{i,j} \frac{(-\Delta x)^2}{2} + \left(\frac{\partial^3 u}{\partial x^3}\right)_{i,j} \frac{(-\Delta x)^3}{3!} \\ &\quad + \left(\frac{\partial^4 u}{\partial x^4}\right)_{i,j} \frac{(-\Delta x)^4}{4!} + \left(\frac{\partial^5 u}{\partial x^5}\right)_{i,j} \frac{(-\Delta x)^5}{5!} + \left(\frac{\partial^6 u}{\partial x^6}\right)_{i,j} \frac{(-\Delta x)^6}{6!} + \dots \\ u_{i,j} &= u_{i,j} \\ u_{i+1,j} &= u_{i,j} + \left(\frac{\partial u}{\partial x}\right)_{i,j} (\Delta x) + \left(\frac{\partial^2 u}{\partial x^2}\right)_{i,j} \frac{(\Delta x)^2}{2} + \left(\frac{\partial^3 u}{\partial x^3}\right)_{i,j} \frac{(\Delta x)^3}{3!} \\ &\quad + \left(\frac{\partial^4 u}{\partial x^4}\right)_{i,j} \frac{(\Delta x)^4}{4!} + \left(\frac{\partial^5 u}{\partial x^5}\right)_{i,j} \frac{(\Delta x)^5}{5!} + \left(\frac{\partial^6 u}{\partial x^6}\right)_{i,j} \frac{(\Delta x)^6}{6!} + \dots \\ u_{i+2,j} &= u_{i,j} + \left(\frac{\partial u}{\partial x}\right)_{i,j} (2\Delta x) + \left(\frac{\partial^2 u}{\partial x^2}\right)_{i,j} \frac{(2\Delta x)^2}{2} + \left(\frac{\partial^3 u}{\partial x^3}\right)_{i,j} \frac{(2\Delta x)^3}{3!} \\ &\quad + \left(\frac{\partial^4 u}{\partial x^4}\right)_{i,j} \frac{(2\Delta x)^4}{4!} + \left(\frac{\partial^5 u}{\partial x^5}\right)_{i,j} \frac{(2\Delta x)^5}{5!} + \left(\frac{\partial^6 u}{\partial x^6}\right)_{i,j} \frac{(2\Delta x)^6}{6!} + \dots \end{aligned} \quad (3.28)$$

对上式各式分别乘以系数  $A, B, C, D, E$  得：

$$\begin{aligned} &Au_{i-2,j} + Bu_{i-1,j} + Cu_{i,j} + Du_{i+1,j} + Eu_{i+2,j} \\ &= (A + B + C + D + E)u_{i,j} + \\ &\quad (-2A - B + D + 2E) \left(\frac{\partial u}{\partial x}\right)_{i,j} \Delta x + \\ &\quad \left(2A + \frac{B}{2} + \frac{D}{2} + 2E\right) \left(\frac{\partial^2 u}{\partial x^2}\right)_{i,j} (\Delta x)^2 + \\ &\quad \left(-\frac{4}{3}A - \frac{B}{6} + \frac{D}{6} + \frac{4}{3}E\right) \left(\frac{\partial^3 u}{\partial x^3}\right)_{i,j} (\Delta x)^3 + \\ &\quad \left(\frac{2}{3}A + \frac{B}{24} + \frac{D}{24} + \frac{2}{3}E\right) \left(\frac{\partial^4 u}{\partial x^4}\right)_{i,j} (\Delta x)^4 + \\ &\quad \left(-\frac{4}{15}A - \frac{B}{60} + \frac{D}{60} + \frac{4}{15}E\right) \left(\frac{\partial^5 u}{\partial x^5}\right)_{i,j} (\Delta x)^5 + \\ &\quad \left(\frac{4}{45}A + \frac{B}{120} + \frac{D}{120} + \frac{4}{45}E\right) \left(\frac{\partial^6 u}{\partial x^6}\right)_{i,j} (\Delta x)^6 + \dots \end{aligned} \quad (3.29)$$

根据四阶精度要求, 可得

$$\begin{aligned}
 A + B + C + D + E &= 0 \\
 -2A - B + D + 2E &= 0 \\
 \left(2A + \frac{B}{2} + \frac{D}{2} + 2E\right)(\Delta x)^2 &= 1 \\
 -\frac{4}{3}A - \frac{B}{6} + \frac{D}{6} + \frac{4}{3}E &= 0 \\
 \frac{2}{3}A + \frac{B}{24} + \frac{D}{24} + \frac{2}{3}E &= 0 \\
 -\frac{4}{15}A - \frac{B}{60} + \frac{D}{60} + \frac{4}{15}E &= 0
 \end{aligned} \tag{3.30}$$

且

$$\frac{4}{45}A + \frac{B}{120} + \frac{D}{120} + \frac{4}{45}E \neq 0 \tag{3.31}$$

从上两式可以解出:

$$A = \frac{-1}{12(\Delta x)^2}, B = \frac{16}{12(\Delta x)^2}, C = \frac{-30}{12(\Delta x)^2}, D = \frac{16}{12(\Delta x)^2}, E = \frac{-1}{12(\Delta x)^2} \tag{3.32}$$

### 3.2.4 多项式拟合法

除了待定系数法外, 另一个推导差分格式的方法是多项式拟合法, 特别是在推导边界节点处高精度差分格式。

例如, 网格节点 1 位于边界上,  $y$  方向垂直与边界, 节点 2 和 3 分别距边界  $\Delta y$  和  $2\Delta y$ 。我们希望构建  $\partial u / \partial y$  的差分格式。最简单的格式为

$$\left(\frac{\partial u}{\partial y}\right)_1 = \frac{u_2 - u_1}{\Delta y} + O(y) \tag{3.33}$$

然而, 该格式仅有一阶精度。若采用中心差分格式, 边界节点 1 下面没有节点可用了。早期, 为了处理这一问题, 假定在边界节点 1 外面存在一个虚拟的节点  $2'$ , 且  $u_{2'} = u_2$ , 即假定边界为反射性边界条件。采用多项式拟合法可以直接得到二阶精度, 甚至是更高阶精度格式, 而不需要引入上述假定。

首先, 假定在边界附近, 函数  $u$  可以用二次多项式表示, 即

$$u = a + by + cy^2 \tag{3.34}$$

在节点 1 处,  $y = 0$ ,  $u_1 = a$ 。在节点 2 处,  $y = \Delta y$ ,  $u_2 = a + b\Delta y + c(\Delta y)^2$ 。在节点 3 处,  $y = 2\Delta y$ ,  $u_3 = a + b(2\Delta y) + c(2\Delta y)^2$ 。联立求解三个节点的方程, 可得

$$b = \frac{-3u_1 + 4u_2 - u_3}{2\Delta y} \tag{3.35}$$

接着, 对式(3.34)对  $y$  求导,

$$\frac{\partial u}{\partial y} = b + 2cy \tag{3.36}$$

在节点 1 处,  $y = 0$ , 即

$$\left(\frac{\partial u}{\partial y}\right)_1 = b \tag{3.37}$$

对比式(3.35)和(3.37), 可得

$$\left(\frac{\partial u}{\partial y}\right)_1 = \frac{-3u_1 + 4u_2 - u_3}{2\Delta y} \tag{3.38}$$



该式即为边界处的单侧差分格式。该格式的精度可利用泰勒级数展开来判断。 $u(y)$  在节点 1 处的泰勒级数展开式为：

$$u(y) = u_1 + \left(\frac{\partial u}{\partial y}\right)_1 y + \left(\frac{\partial^2 u}{\partial y^2}\right)_1 \frac{y^2}{2} + \left(\frac{\partial^3 u}{\partial y^3}\right)_1 \frac{y^3}{3!} + \cdots \quad (3.39)$$

对比式(3.39)和(3.34)，我们可以认为式(3.34)对应泰勒级数的前三项。因此，式(3.34)的截断误差为  $O(\Delta y)^3$ 。因而， $u_1, u_2, u_3$  的精度均为  $O(\Delta y)^3$ 。在式(3.38)中，分子精度也为  $O(\Delta y)^3$ ，分母中存在  $\Delta y$ ，整个差分表达式的精度为  $O(\Delta y)^2$ ，

$$\left(\frac{\partial u}{\partial y}\right)_1 = \frac{-3u_1 + 4u_2 - u_3}{2\Delta y} + O(\Delta y)^2 \quad (3.40)$$

### 3.3 差分方程

上节中我们讨论了如何用各类代数差分来替代一个偏导数。上一章所推导各类偏微分方程组中通常涉及到大量的偏导数项。当给定的偏微分方程中所有的偏导数项都被差分替代后，最终得到的代数方程为差分方程，是原偏微分方程的线性替代。本节，我们将讨论有关差分方程的基础概念。

为了简化，我们选用热传导系数为常数的一维热传导方程，

$$\frac{\partial T}{\partial t} = \alpha \frac{\partial^2 T}{\partial x^2} \quad (3.41)$$

选用该方程主要是出于方便的考虑。目前，我们主要是希望讲解差分方程的基础概念，若直接处理复杂的流动控制方程是没有好处的。

式(3.41)中包含了两个自变量， $x$  和  $t$ 。

$$\left(\frac{\partial T}{\partial t}\right)_i^n = \frac{T_i^{n+1} - T_i^n}{\Delta t} - \left(\frac{\partial^2 T}{\partial t^2}\right)_i^n \frac{\Delta t}{2} + \cdots \quad (3.42)$$

$$\left(\frac{\partial^2 T}{\partial x^2}\right)_i^n = \frac{T_{i+1}^n - 2T_i^n + T_{i-1}^n}{(\Delta x)^2} - \left(\frac{\partial^4 T}{\partial x^4}\right)_i^n \frac{(\Delta x)^2}{12} + \cdots \quad (3.43)$$

$$\begin{aligned} \frac{\partial T}{\partial t} - \alpha \frac{\partial^2 T}{\partial x^2} = 0 = & \frac{T_i^{n+1} - T_i^n}{\Delta t} - \alpha \frac{T_{i+1}^n - 2T_i^n + T_{i-1}^n}{(\Delta x)^2} \\ & + \left[ -\left(\frac{\partial^2 T}{\partial t^2}\right)_i^n \frac{\Delta t}{2} + \alpha \left(\frac{\partial^4 T}{\partial x^4}\right)_i^n \frac{(\Delta x)^2}{12} + \cdots \right] \end{aligned} \quad (3.44)$$

$$\frac{T_i^{n+1} - T_i^n}{\Delta t} = \alpha \frac{T_{i+1}^n - 2T_i^n + T_{i-1}^n}{(\Delta x)^2} \quad (3.45)$$

式(3.45)即为式(3.41)中偏微分方程的差分方程。需要注意的是，式(3.45)只是式(3.41)的近似，式(3.45)中每一个差商都有一个截断误差，因此式(3.45)所表达的差分方程综合了每一个差商的截断误差。从式(??)可以看出，式(3.45)的截断误差为  $O[\Delta t, (\Delta x)^2]$ 。

更重要的是，差分方程和原始对偏微分方程是完全不同的。差分方程是一个代数方程。网格中，每一个网格节点都上可以列出一个差分方程，最后组成一个线性方程组。然后，通过求解该线性方程组得出每个网格节点上下一个时刻的温度。这里我们需要注意一个问题，求解该线性方程组所得的解是否就是偏微分方程的解？仔细观察式(3.44)，当  $\Delta x \rightarrow 0$  和  $\Delta t \rightarrow 0$  时，截断误差趋近于 0，差分方程就会退化成原先的偏微分方程。这种情况下，偏微分方程的差分方程被认为是**相容的**。若差分方程式是相容的，且差分方程求解算法是稳定的，且边界条件被合理地处理，那么差分方程的

数值解就会是原偏微分方程解析解的合理的替代。然而，这些如果，与截断误差在求解过程中的不如意的步进，导致差分方程的成功求解变成一个挑战，有时甚至是成为一门艺术。

此外，本节所推导的差分方程仅仅是用来介绍差分方程的思想，即：通过采用各类差分来替代偏微分，然后求解每个离散的网格节点上差分方程所组成的代数方程组。我们在后续章节将进一步讨论如何选择合适的差分格式，以及如何选择合适的求解算法。

### 3.4 显式方法和隐式方法

本节我们将继续利用一维非稳态热传导方程来进一步讨论差分方程的求解技术。差分方程的求解技术通常可以分成两种不同的技术，显式方法和隐式方法。

#### 3.4.1 显式方法

根据显式方法的定义，每个网格节点所列出的差分方程中仅包含一个未知量，因而可直接求解得出未知量。

上一节中的式(3.45)给出的差分方程即为显式方法的一种。对式(3.45)进行移项，将未知量放在等号左侧，已知量放在等号右侧，可得

$$T_i^{n+1} = T_i^n + \alpha \frac{\Delta t}{(\Delta x)^2} (T_{i+1}^n - 2T_i^n + T_{i-1}^n) \quad (3.46)$$

接下来，我们利用上式来求解一个简化的一维非稳态热传导问题。假定一根水平放置的圆柱形金属棒，左端坐标为  $x = 0$ ，长度  $l = 5\text{m}$ ，导热系数  $\alpha = 0.5\text{m}^2/\text{s}$ 。在初始时刻，整根棒的温度  $T(x, 0) = 0^\circ\text{C}$ 。棒左端温度  $T(0, t) = 50^\circ\text{C}$ ，右端温度  $T(5, t) = 0^\circ\text{C}$ 。棒上网格节点间距  $\Delta x = 1\text{m}$ ，共有 6 个网格节点，时间节点间距或时间步长  $\Delta t = 1\text{s}$ ，总计算时间  $t = 10\text{s}$ 。系数  $\alpha\Delta t/(\Delta x)^2 = 0.5$ 。计算网格系统如图3.2所示。由于网格节点 1 和 6 都是位于边界上的节点，所以这两个节点在各时间层上的温度值均为已知值。

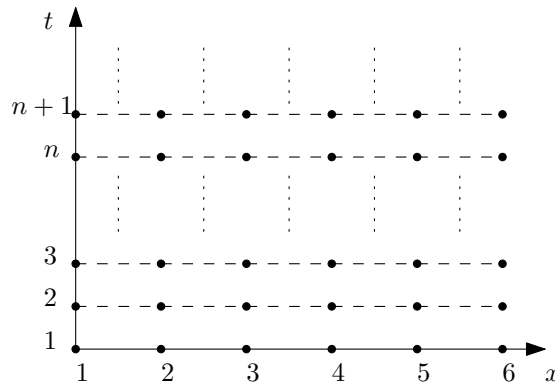


图 3.2: 求解网格系统

初始时刻对应第一个时间层，在该层中所有网格节点上的温度值  $T_i^1$  均为已知量，第二个时间



改变时间步长  $\Delta t = 2.5\text{s}$ , 系数  $\alpha\Delta t/(\Delta x)^2 = 1.25$ 。重复上述过程, 重新求解结果如表3.3所示。

表 3.3: 一维非稳态热传导方程计算结果 (显式方法  $\Delta t = 2.5\text{s}$ )

	t=0	t=2.5s	t=5s	t=7.5s	t=10s
x=0	0	0	0	0	0
x=1m	0	0.00	0.00	0.00	122.07
x=2m	0	0.00	0.00	97.66	-341.80
x=3m	0	0.00	78.13	-156.25	615.23
x=4m	0	62.50	-31.25	207.03	-443.36
x=5m	50	50	50	50	50

对比前两次的计算结果, 表3.3中数据表明, 当系数  $\alpha\Delta t/(\Delta x)^2$  选取不当时, 计算结果中会出现不符合物理定律的数值, 比如  $-241.80^\circ\text{C}$ 。系数  $\alpha\Delta t/(\Delta x)^2$  如何选取将在下一节中详细展开。

### 3.4.2 隐式方法

根据上一节差分格式的知识, 式(3.45)显然并不是唯一的差分方程。为了解释隐式方法, 我们将  $\partial^2 T/\partial x^2$  的中心差分格式中分子每一项用第  $n$  和  $n+1$  个时间层的平均值来代替, 即

$$\frac{T_i^{n+1} - T_i^n}{\Delta t} = \alpha \frac{\frac{1}{2}(T_{i+1}^{n+1} + T_{i+1}^n) + \frac{1}{2}(-T_{i+1}^{n+1} - T_i^n) + \frac{1}{2}(T_{i-1}^{n+1} + T_{i-1}^n)}{(\Delta x)^2} \quad (3.49)$$

这个差分格式被称为 Crank-Nicolson 格式。当然, 这个格式并不是唯一的隐式格式, 例如, 将中心差分中分子每一项直接用  $n+1$  层的代入计算。对上式进行整理, 将下一个层的未知量放在等式左边, 已知量放在等式右边, 可得

$$\frac{\alpha\Delta t}{2(\Delta x)^2} T_{i-1}^{n+1} - \left[1 + \frac{\alpha\Delta t}{(\Delta x)^2}\right] T_i^{n+1} + \frac{\alpha\Delta t}{2(\Delta x)^2} T_{i+1}^{n+1} = -T_i^n - \frac{\alpha\Delta t}{2(\Delta x)^2} (T_{i+1}^n - 2T_i^n + T_{i-1}^n) \quad (3.50)$$

为了后续推导的便利, 令

$$\begin{aligned} A &= \frac{\alpha\Delta t}{2(\Delta x)^2} \\ B &= 1 + \frac{\alpha\Delta t}{(\Delta x)^2} \\ K_i &= -T_i^n - A(T_{i+1}^n - 2T_i^n + T_{i-1}^n) \end{aligned} \quad (3.51)$$

式(3.50)可写成

$$AT_{i-1}^{n+1} - BT_i^{n+1} + AT_{i+1}^{n+1} = K_i \quad (3.52)$$

沿用显式格式使用的网格系统, 在第 2 个时间层节点 2, 3, 4 和 5 上的差分方程将形成如下的线性方程组:

$$\begin{aligned} AT_1^2 - BT_2^2 + AT_3^2 &= K_2 \\ AT_2^2 - BT_3^2 + AT_4^2 &= K_3 \\ AT_3^2 - BT_4^2 + AT_5^2 &= K_4 \\ AT_4^2 - BT_5^2 + AT_6^2 &= K_5 \end{aligned} \quad (3.53)$$

注意节点 2 差分方程中  $T_1^2$  和节点 5 差分方程中  $T_6^2$  位于边界节点上, 因此这两个值为已知量, 可以移到等式的右边。并令  $K'_2 = K_2 - AT_1^2$ ,  $K'_5 = K_5 - AT_6^2$  则, 上式可写成

$$\begin{aligned} -BT_2^2 + AT_3^2 &= K'_2 \\ AT_2^2 - BT_3^2 + AT_4^2 &= K_3 \\ AT_3^2 - BT_4^2 + AT_5^2 &= K_4 \\ AT_4^2 - BT_5^2 &= K'_5 \end{aligned} \quad (3.54)$$

写成矩阵形式为

$$\begin{bmatrix} -B & A & 0 & 0 \\ A & -B & A & 0 \\ 0 & A & -B & A \\ 0 & 0 & A & -B \end{bmatrix} \begin{bmatrix} T_2^2 \\ T_3^2 \\ T_4^2 \\ T_5^2 \end{bmatrix} = \begin{bmatrix} K'_2 \\ K_3 \\ K_4 \\ K'_5 \end{bmatrix} \quad (3.55)$$

当  $\Delta t = 1\text{s}$  时,  $A = \frac{\alpha \Delta t}{2(\Delta x)^2} = \frac{0.5 \times 1}{2 \times 1^2} = 0.25$ ,  $B = 1.5$ , 第一个时间层各节点上温度值分别为:  $T_i^1 = 0, i = 1, 2, \dots, 5$ ,  $T_6^1 = 50.0^\circ\text{C}$ , 第二个时间层边界节点温度值分别为:  $T_1^2 = 0$ ,  $T_6^2 = 50.0^\circ\text{C}$  各节点差分方程右侧  $K_i$  为

$$\begin{aligned} K'_2 &= K_2 - AT_1^2 = -T_2^1 - A(T_3^1 - 2T_2^1 + T_1^1) - AT_1^2 = 0 \\ K_3 &= -T_3^1 - A(T_4^1 - 2T_3^1 + T_2^1) = 0 \\ K_4 &= -T_4^1 - A(T_5^1 - 2T_4^1 + T_3^1) = 0 \\ K'_5 &= K_5 - AT_6^2 = -T_5^1 - A(T_6^1 - 2T_5^1 + T_4^1) - AT_6^2 = -25.0 \end{aligned} \quad (3.56)$$

代入

$$\begin{bmatrix} -1.5 & 0.25 & 0 & 0 \\ 0.25 & -1.5 & 0.25 & 0 \\ 0 & 0.25 & -1.5 & 0.25 \\ 0 & 0 & 0.25 & -1.5 \end{bmatrix} \begin{bmatrix} T_2^2 \\ T_3^2 \\ T_4^2 \\ T_5^2 \end{bmatrix} = \begin{bmatrix} 0 \\ 0 \\ 0 \\ -25.0 \end{bmatrix} \quad (3.57)$$

从上式可以解出

$$T_2 = 0.08, \quad T_3 = 0.50, \quad T_4 = 2.94, \quad T_5 = 17.16 \quad (3.58)$$

重复这一过程, 即可求出各时间层上各网格节点上的温度值。表3.4列出了详细的计算结果。

表 3.4: 一维非稳态热传导方程计算结果 (隐式方法  $\Delta t = 1\text{s}$ )

	t=0	t=1s	t=2s	t=3s	t=4s	t=5s	t=6s	t=7s	t=8s	t=9s	t=10s
x = 0m	0	0	0	0	0	0	0	0	0	0	0
x=1m	0	0.08	0.47	1.26	2.31	3.41	4.44	5.35	6.13	6.79	7.35
x = 2m	0	0.50	2.14	4.49	6.86	8.99	10.83	12.40	13.70	14.79	15.70
x= 3m	0	2.94	8.33	12.63	15.95	18.55	20.62	22.29	23.65	24.77	25.68
x = 4m	0	17.16	24.26	28.25	30.85	32.70	34.09	35.18	36.05	36.75	37.33
x=5m	50	50	50	50	50	50	50	50	50	50	50

改变时间步长  $\Delta t = 2.5\text{s}$ , 重复上述过程, 重新求解结果如表3.5所示。对比表3.5和表3.3可知, 隐式方法在时间步长  $\Delta t = 2.5\text{s}$  时仍然可以获得合理的解, 而显式方法获得的解出现了违反物理定

表 3.5: 一维非稳态热传导方程计算结果 (隐式方法  $\Delta t = 2.5\text{s}$ )

	t=0	t=2.5s	t=5s	t=7.5s	t=10s
x=0	0	0	0	0	0
x=1m	0	0.77	3.12	5.79	7.44
x=2m	0	2.77	8.77	13.33	15.77
x=3m	0	9.19	19.6	22.96	25.91
x=4m	0	30.33	32.41	36.00	37.35
x=5m	50	50	50	50	50

律的解。这表明隐式方法比显式方法更为稳定。然而, 对比两种方法的计算量, 显式方法直接求解所需的计算步骤很少, 而隐式方法需要求解线性方程组, 特别是当节点数量变大, 比如  $\Delta x = 0.001\text{m}$ , 甚至更大时, 线性方程组的求解步骤很多。关于线性方程组的求解将在第??节中详细讨论。

### 3.5 相容性、稳定性和收敛性

对给定的差分方程, 当  $\Delta x \rightarrow 0$  和  $\Delta t \rightarrow 0$  时, 截断误差趋近于 0, 差分方程将收敛于原偏微分方程, 即

$$\lim_{\Delta t, \Delta x \rightarrow 0} [\text{PDE} - \text{FDE}] = 0 \quad (3.59)$$

式中, PDE 为偏微分方程, FDE 为差分方程。这种情况下, 偏微分方程的差分方程被认为是**相容的**。需要注意的是, 差分方程收敛于原偏微分方程, 并不等价于差分方程的精确解收敛于偏微分方程的精确解。

还是以一维非稳态热传导方程为例, 设  $T(x, t)$  为偏微分方程的精确解,  $T_i^n$  为差分方程的精确解。当  $\Delta x \rightarrow 0$  和  $\Delta t \rightarrow 0$  时, 若

$$\lim_{\Delta t, \Delta x \rightarrow 0} [T(x, t) - T_i^n] = 0 \quad (3.60)$$

则差分方程的精确解收敛于原偏微分方程的精确解, 或者说差分方程的精确解是收敛的。

当差分方程与原微分方程是相容的, 且差分方程的精确解是收敛的, 是否就能保证最后能得到合理的解了? 答案是否定的。差分方程的相容性、收敛性是在  $\Delta t$  和  $\Delta x$  趋近于 0 时来讨论的。在实际应用中,  $\Delta t$  和  $\Delta x$  一定是一个有限大的数, 截断误差不会趋近于 0。截断误差的存在将会影响差分方程精确解的精度。此外, 无论采用何种计算手段, 受计算精度的影响, 差分方程的求解都会引入计算误差。计算误差在计算过程中会不断步进。如果随着计算过程, 计算误差逐渐累积, 导致误差过大, 使计算结果偏离差分方程的精确解, 这种差分方程就是不稳定的。相反的, 若计算误差在计算过程中能被控制在一个可接受的程度, 计算结果与精确解的差值符合精度要求, 这种差分方程就是稳定的。本节将重点介绍判定差分方程稳定性的黎曼稳定性分析方法。

## 第四章 有限体积法

### 4.1 一维热传导方程的有限体积法

### 4.2 一维对热扩散方程的有限体积法





## 第五章 一维水动力学问题

### 5.1 一维恒定流求解

### 5.2 一维非恒定流求解



## 第六章 二维水动力学问题

### 6.1 网格基础

### 6.2 二维浅水方程求解